

**INFORME DE LA EXHUMACIÓN E  
IDENTIFICACIÓN DE LOS RESTOS HUMANOS  
DE LA FOSA COMÚN DE LA GRANJA  
(QUINTANILLA DE LAS VIÑAS, BURGOS)**

-2011-

DIRECCIÓN TÉCNICA

**Juan Montero Gutiérrez**

-Profesor de Arqueología-

Dpto. CC. Históricas y Geografía. Facultad de Humanidades y Educación

Universidad de Burgos. C/ Villadiego s/n - 09001- Burgos

[jmontero@ubu.es](mailto:jmontero@ubu.es)

**Encarna Valdivielso Gutiérrez**

-Antropóloga Física-

Coordinadora Provincial por la Recuperación de la Memoria Histórica de Burgos

C/ San Pablo 8, Edificio de los Sindicatos - 09002 – Burgos

[encarnavg@yahoo.es](mailto:encarnavg@yahoo.es)

Entidad promotora:



Entidad financiadora:



Entidades colaboradoras:



UNIVERSIDAD DE BURGOS

## ÍNDICE

<b>APARTADO 1. Ficha técnica</b>	3
1.1. Dirección científico-técnica	3
1.2. Equipo técnico	3
1.3. Colaboradores	3
1.4. Coordinación	3
1.5. Promotor	3
1.6. Marco del proyecto	3
1.7. Denominación del proyecto	3
1.8. Entidad financiadora	3
<b>APARTADO 2. Datos de la fosa</b>	4
2.1. Ubicación	4
2.1.1. Geográfica	4
2.1.2. Cartográfica	4
2.1.3. Datos catastrales	4
2.1.4. Propiedad del terreno	4
2.1.5. Documentación gráfica y fotográfica	4
2.2. Tipo de fosa	5
2.2.1. Razón de su existencia	5
2.2.2. Fecha de la fosa	5
2.2.3. Observaciones	5
2.3. Intervenciones realizadas respecto de los restos hallados	5
2.3.1. Tareas previas de documentación y notificación	5
2.3.2. Tareas exhumatorias	6
2.3.3. Tareas de identificación	16
A. Descripción individualizada de los restos óseos	19
-Individuo 1: Julián Santamaría Carretero	20
-Individuo 2: Saturio Gómez Ibáñez	28
-Individuo 3: Lázaro Esteban García	37
-Individuo 4: Nicolás Rubio Salas	47
-Individuo 5: Ponciano Salas Esteban	58
-Individuo 6: Arturo Rubio Salas	69
B. Caracterización antropológica	77
C. Conclusiones del análisis antropológico y patológico	77
D. Propuesta de identificación	78
<b>APARTADO 3. Datos de las personas desaparecidas que yacían en la fosa</b>	80
3.1. Personas cuyos restos han sido identificados y grado de certeza	80
<i>ANEXO I. Análisis balístico</i>	86
<b>Bibliografía</b>	88

## **1.- FICHA TÉCNICA**

### **1.1.- Dirección científico-técnica**

JUAN MONTERO GUTIÉRREZ. Profesor de Arqueología. Universidad de Burgos.  
ENCARNA VALDIVIELSO GUTIÉRREZ. Licenciada en Biología. CPRMH de Burgos.

### **1.2.- Equipo técnico**

MARTA BERNAL BERNAL. Licenciada en Humanidades.  
ÍÑIGO DE LA FUENTE FERNÁNDEZ-CEDRÓN. Estudiante de Humanidades (UBU).  
MARIA DE LA FUENTE SORO. Estudiante de Historia del Arte (UCM).  
ANA GARCÍA SANTIDRIÁN. Licenciada en Humanidades.  
LORENA HORTIGÜELA MARTÍNEZ. Diplomada en Enfermería.  
MARINA MARTINEZ GALLO. Estudiante de Humanidades (UBU).  
ALAZNE MORENO MARTÍNEZ. Estudiante de Humanidades (UBU).

### **1.3.- Colaboradores**

MARTINIANO ARAGÓN ABAD  
ELEUTERIO CONTRERAS MORAL  
OSCAR DE LA TORRE  
ÁNGEL PABLOS GONZÁLEZ  
EDUARDO RUBIO IBAÑEZ

### **1.4.- Coordinación**

LOURDES SASTRE ROMANIEGA. Presidenta de la Coordinadora Provincial por la Recuperación de la Memoria Histórica de Burgos.

### **1.5.- Promotor**

JOSE LUIS ELVIRA RUBIO. Sobrino de una de las víctimas.

### **1.6.- Marco del proyecto**

Convocatoria de subvenciones destinadas a actividades relacionadas con las víctimas de la Guerra Civil y del Franquismo para el año 2010.

### **1.7.- Denominación del proyecto**

La recuperación de la memoria histórica en la provincia de Burgos: labores exhumatorias, procesos de identificación, homenajes y difusión de los testimonios orales de las víctimas de la Guerra Civil y del Régimen Franquista (Nº Proyecto: 114.1).

### **1.8.- Entidad financiadora**

Ministerio de la Presidencia del Gobierno de España.

## 2.- DATOS DE LA FOSA

### 2.1.- Ubicación

#### 2.1.1.- Geográfica

La fosa se localizaba en el paraje conocido como La Granja en la localidad de Quintanilla de las Viñas perteneciente al término municipal de Mambriillas de Lara en la provincia de Burgos. En concreto, se situaba a 50 m del PK 456,5 de la carretera N-234, en un pequeño claro desprovisto de vegetación arbórea, ubicado en la cuneta de la margen derecha de la citada vía.

#### 2.1.2.- Cartográfica

Las coordenadas UTM son: X: 460029,82; Y: 4660507,66.

#### 2.1.3.- Datos catastrales

Polígono: 507; parcela: 5560.

#### 2.1.4.- Propiedad del terreno

Los terrenos son de titularidad pública (Junta Vecinal de Quintanilla de las Viñas).

#### 2.1.5.- Documentación gráfica y fotográfica

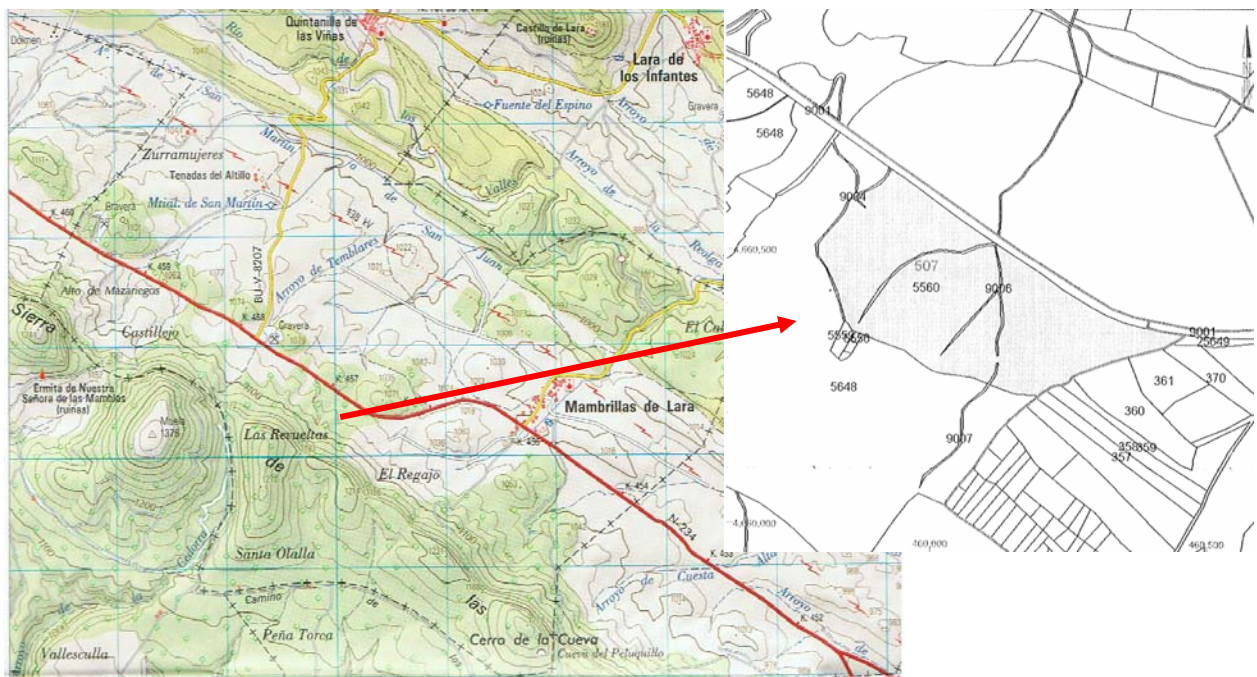


Fig. 1. Localización de la fosa común ubicada en el paraje de La Granja en Quintanilla de las Viñas.

## **2.2.- Tipo de fosa**

### 2.2.1.- Razón de su existencia

La fosa es producto de las represalias cometidas en la retaguardia por el bando franquista durante la Guerra Civil española (1936-1939) mediante el procedimiento conocido como 'paseo'.

### 2.2.2.- Fecha de la fosa

Los asesinatos de las víctimas que yacían en la fosa se cometieron el 3 de septiembre de 1936, tal y como informaron los familiares de las víctimas.

### 2.2.3.- Observaciones

A tenor de la información facilitada por los familiares de las víctimas, éstas fueron detenidas por miembros de la Guardia Civil en su localidad de residencia, Castrillo de la Reina, y trasladadas a la prisión de Salas de los Infantes. Con posterioridad fueron subidos a una camioneta para ser conducidos a la prisión de Burgos. Sin embargo, a mitad de trayecto, pasada la localidad de Mambrillas de Lara fueron bajadas y asesinadas en el paraje conocido como La Granja, ubicado junto a la carretera. Únicamente pudo escapar una de las seis víctimas, Julián Santamaría Carretero, quien malherido buscó refugio en la mencionada localidad de Mambrillas, tal y como informaron vecinos de la misma. Después de ser atendido, trató de huir de este pueblo pero fue capturado y conducido, nuevamente, al paraje de La Granja donde yacían sus compañeros en una fosa, para darle muerte definitivamente. Su cuerpo fue arrojado en una fosa individual contigua a la otra.

## **2.3.- Intervenciones realizadas respecto de los restos hallados**

### 2.3.1.- Tareas previas de documentación y notificación

La exhumación se efectuó a petición de los familiares de las víctimas que yacían en la fosa, siendo el coordinador José Luis Elvira Rubio, sobrino de una de las personas desaparecidas, concretamente, de Nicolás Rubio Salas. Merced a los testimonios recogidos por dicha persona de vecinos de Mambrillas de Lara (los octogenarios Alejo Paniego Vicario y Epifanio Vicario González) como de otros familiares de las víctimas, de los cuales informó a la Coordinadora Provincial por la Recuperación de la Memoria Histórica de Burgos –a la sazón promotora de la exhumación–, se conocía tanto el número e identidad de las víctimas que contenía la fosa –seis individuos varones– como su ubicación exacta. En este sentido, era bien conocida la existencia de la fosa en el paraje de La Granja.

De este modo y como paso previo a la exhumación de la fosa se puso en conocimiento el hallazgo de la misma al Juzgado de Instrucción de Salas de los

Infantes, el cual no se pronunció en modo alguno, inhibiéndose de esta forma de su responsabilidad legal de investigar los restos humanos de personas desaparecidas que se hallan enterrados con evidentes signos de violencia. Asimismo, se procedió a notificar el inicio de las tareas exhumatorias al Ayuntamiento de Mambrillas de Lara y, por extensión, al alcalde-pedáneo de Quintanilla de las Viñas, así como a la Subdelegación del Gobierno en Burgos.

### 2.3.2.- Tareas exhumatorias

La exhumación se llevó a cabo entre los días 2 y 5 de agosto de 2010. Para su localización se emplearon como medios técnicos una máquina retro-excavadora, así como procedimientos manuales.

El proceso de excavación, dirigido por el arqueólogo D. Juan Montero Gutiérrez, siguió los parámetros metodológicos de una intervención arqueológica. De ahí que la estrategia adoptada fuese asociada a un proceso de excavación estratigráfico y, a su vez, a un riguroso registro de los cuerpos y pertenencias a través de un modelo de fichas diseñadas *ad hoc*. De tal forma que, en primer lugar, se procedió a la retirada de la cobertura vegetal a través de la máquina retro-excavadora e, inmediatamente después, los sedimentos acumulados por encima de la fosa mediante el empleo de palas, picos y azadas. Una vez localizados los primeros restos óseos, los cuales se encontraban a 1 m aproximadamente de profundidad, se procedió a retirar cuidadosamente la tierra que colmataba la fosa, de manera que quedó delimitada una pequeña zanja en la cual se pudo comprobar que únicamente se encontraban los restos de un solo individuo.

Este se disponía en posición decúbito supino, hallándose cuidadosamente colocado, pues tenía las extremidades inferiores completamente extendidas y las superiores replegadas sobre el tórax con las manos juntas y cruzadas. Asimismo, se pudo comprobar que dicho individuo tenía, al menos, ocho fundas de oro en su dentadura, lo que posiblemente nos sugiere que se tratase de Julián Santamaría Carretero, quien fuera el alcalde de Castrillo de la Reina, puesto que sus familiares nos informaron previamente que, efectivamente, “*tenía dientes de oro*”. Además, era bien conocido que una de las seis víctimas consiguió escapar herido del paraje donde les habían disparado, llegando a la localidad próxima de Mambrillas de Lara, donde fue curado inicialmente, si bien volvió a ser capturado de inmediato y llevado nuevamente al paraje donde yacían ya muertos sus compañeros, siendo enterrado en una fosa individual (Fosa I).

De hecho, a menos de 2 m de distancia, se encontró la fosa que contenía los restos esqueléticos de los otros cinco individuos (Fosa II); corroborándose, de esta forma, la historia anteriormente comentada. Ésta tenía unas dimensiones de 2,70 m de largo por 0,70 m de ancho, hallándose también a 1 m de profundidad. A fin de facilitar la adecuada documentación de los restos óseos, éstos se excavaron con instrumental de pequeño tamaño.

Una vez limpios, se pudo constatar que cuatro de los cuerpos (Individuos 3, 4, 5 y 6) se disponían colocados dos a dos confrontados, es decir, orientados en sentido contrario, pues tenían los cráneos ubicados en las cabeceras de la fosa; mientras que el quinto (Individuo 2) se ubicaba encima de todos ellos. A excepción del Individuo 3 que estaba en posición decúbito prono, el resto se hallaban en posición decúbito supino, con las extremidades inferiores ligeramente flexionadas. El levantamiento de los restos esqueléticos se llevó a cabo de forma individualizada y en el orden inverso al que fueron arrojados a la fosa: primero el Individuo 2 y seguidamente el 3, 4, 5 y 6. De tal manera que fueron retirándose las piezas óseas una a una y embalándose adecuadamente por partes anatómicas en cajas individualizadas bajo la supervisión de la antropóloga Dña. Encarna Valdivielso Gutiérrez.

Asimismo, una vez documentadas las pertenencias halladas en la fosa, fundamentalmente restos de prendas de vestir como el calzado, botones, hebillas de cinturón y corchetes, éstas se recogieron para su posterior limpieza y documentación. No en vano, hay que tener en cuenta que el hallazgo y estudio de los objetos que salen asociados a los cuerpos son de suma importancia, pues facilitan las tareas de identificación. De hecho, el Individuo 6 portaba unas gafas a la altura del pecho, concretamente, en el lado izquierdo.

Tanto los restos óseos como los enseres personales y proyectiles encontrados fueron trasladados a la Universidad de Burgos donde se procedió al análisis antropológico como arqueológico de los mismos bajo la responsabilidad de la antropóloga Dña. Encarna Valdivielso Gutiérrez y el arqueólogo D. Juan Montero Gutiérrez, respectivamente.



## FICHA DE SOLICITUD DE EXHUMACIÓN

### Datos de la persona solicitante

Nombre y Apellidos:	
Población:	Provincia:
Dirección:	Teléfono:
Relación con la persona desaparecida (familiar, amigo, conocido...):	

Firma de la persona solicitante dando su conformidad:

### Datos de la persona desaparecida

Nombre y Apellidos:		Edad:
Fecha de nacimiento:	Lugar de nacimiento:	Provincia:
Estado civil:	Residencia:	
Profesión:	Lugar de trabajo:	
Fecha de prendimiento: Hora o momento del día:	Lugar de prendimiento:	
Fecha de encarcelamiento (si procede):	Lugar de encarcelamiento (si procede):	
Fecha de asesinato: Fosa común donde está sepultado:		
Civil / Miliciano / Voluntario (Batallón):		

- Diestro  Zurdo
- Estatura: Bajo (hasta 1,60): Mediana (entre 1,60-1,80): Alto (más de 1,80):
- Complexión: Delgada  Normal  Fuerte
- Peso aproximado:
- Enfermedades sufridas en vida, que pudieran haber dejado señales. ¿Tenía alguna malformación?
- ¿Recuerda si sufrió algún accidente, roturas de huesos, operaciones, etc?, ¿recuerda en que parte del cuerpo cuál fue la causa?
- Dentadura (caries, alguna pieza de oro o plata, extracciones, sufría dolores de muelas, tamaño de los dientes, dientes rotos, separados, con otra coloración, etc)
- ¿Usaba gafas?:      ¿Usaba aparato de sordera?:
- Fumador:    Si  Puros  Cigarrillos  Pipa  Boquilla  Tabaco de liar   
                  No
- Objetos personales que llevaba el día de su desaparición. ¿Recuerda como iba vestido?
- Otros datos de interés, que crea que pueden ayudar a la identificación:

**Fig. 2.** Ficha de solicitud de exhumación de los familiares de víctimas de la Guerra Civil española.





**Lám. 1.** Labores de localización de las fosas.



**Lám. 2.** Seguimiento en la localización de las fosas.



**Lám. 3.** Detalle de la señalización de la Fosa II.



**Lám. 4.** Detalle del proceso de exhumación de la Fosa I.



**Lám. 5.** Detalle de las tareas de exhumación en la Fosa II.

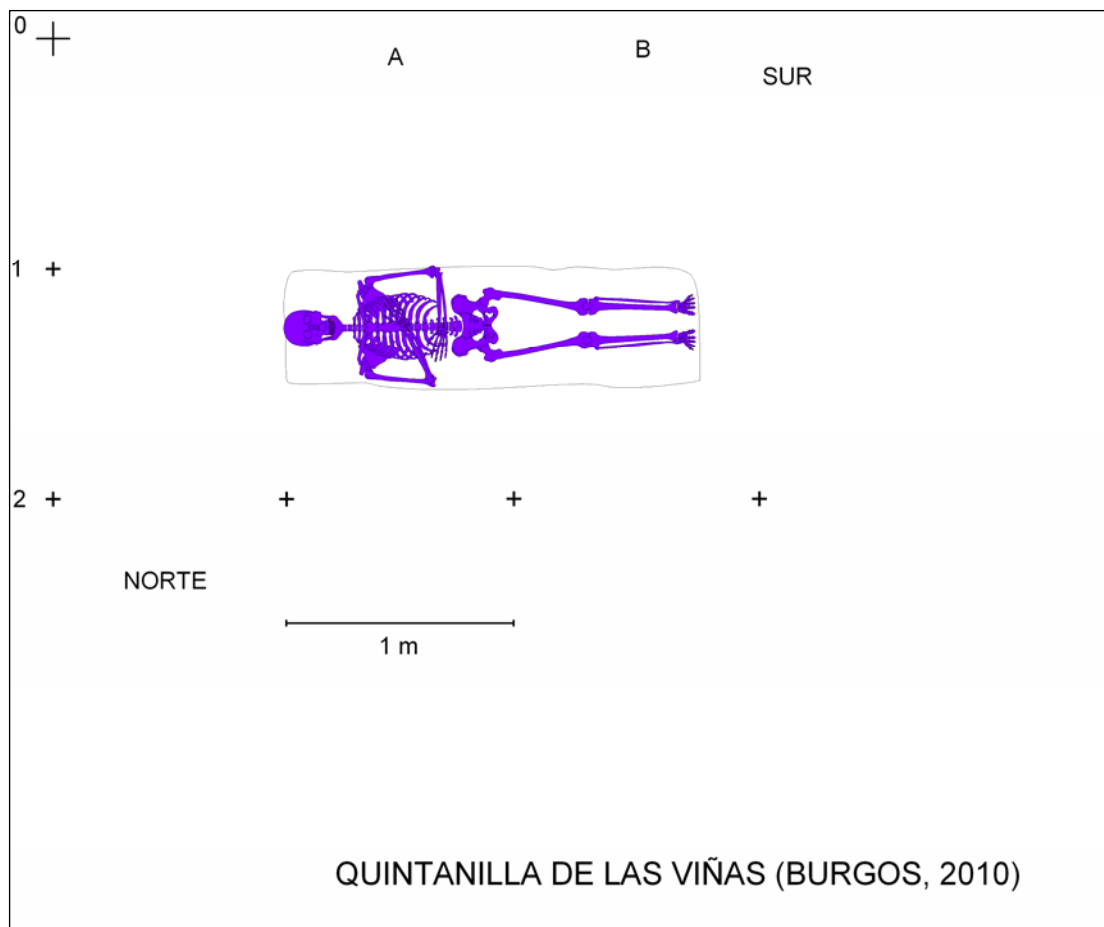


**Lám. 6.** Detalle de las tareas de exhumación en la Fosa I.

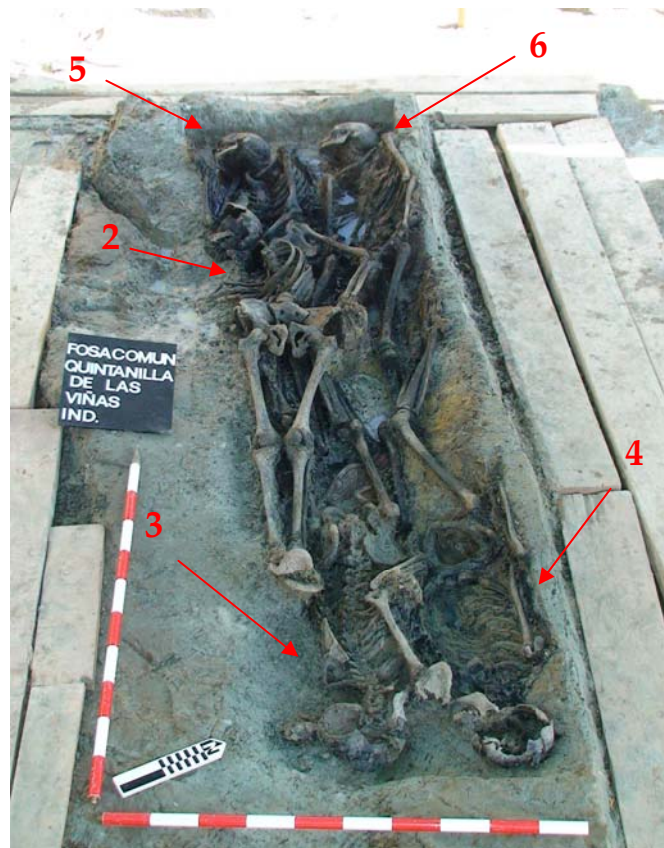


**Lám. 7.** Imagen de la Fosa I con el esqueleto del Individuo 1.

**Lám. 8.** Detalle de la dentadura del Individuo 1 con fundas de oro.



**Fig. 3.** Disposición del esqueleto del Individuo 1 en el interior de la Fosa I.



Lám. 9. Imagen de la Fosa II con los cinco esqueletos exhumados.

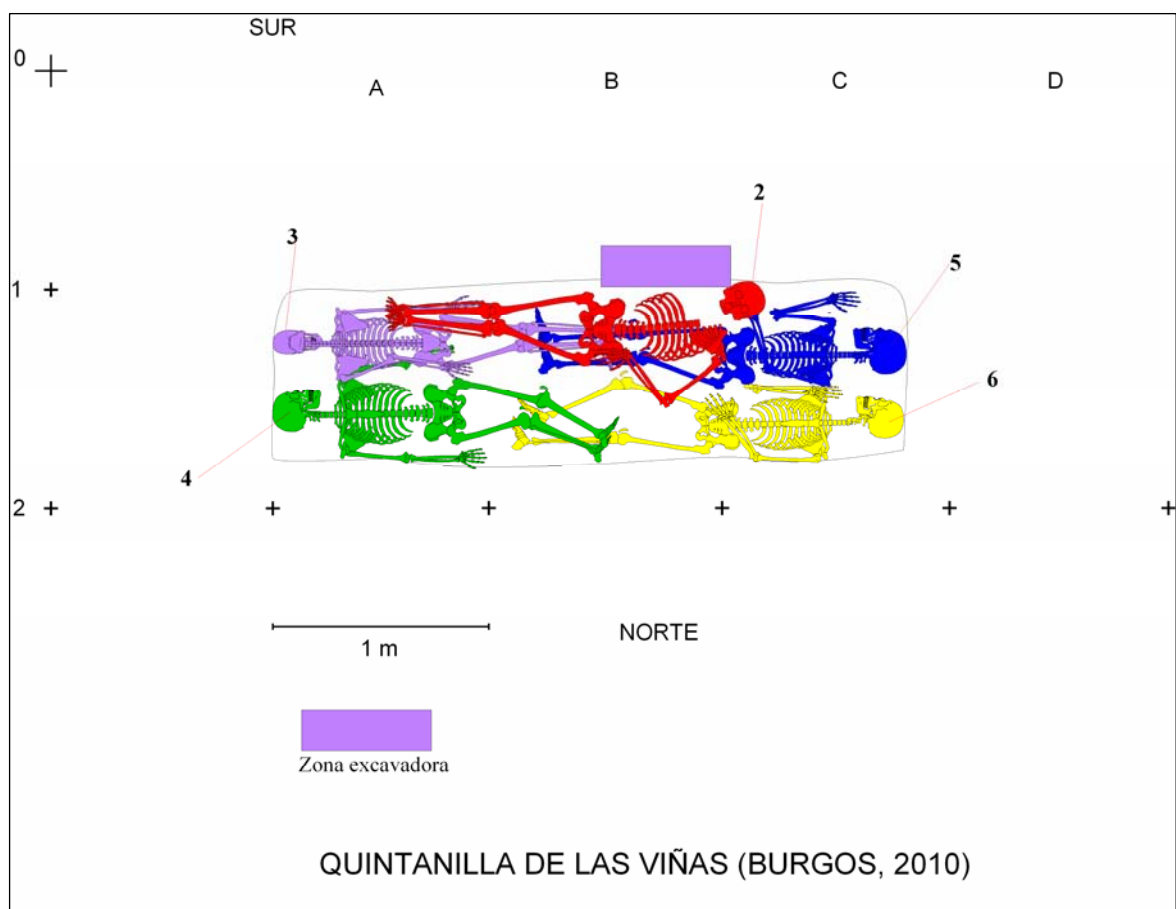


Fig. 4. Disposición de los restos esqueléticos de los Individuos 2, 3, 4, 5 y 6 en el interior de la Fosa II.



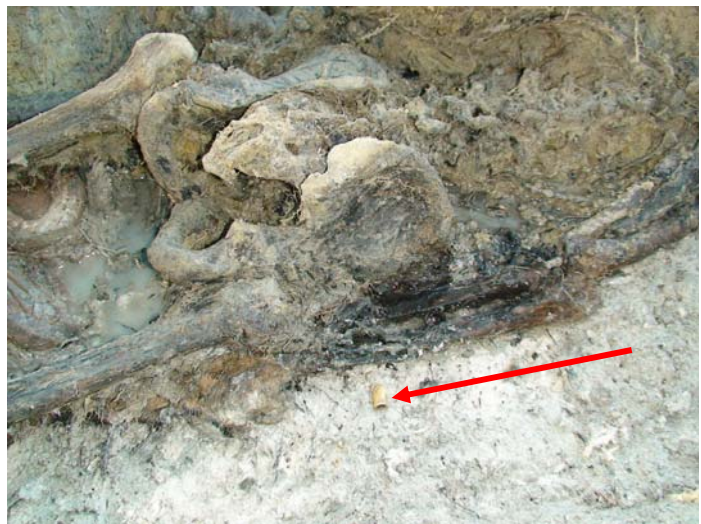
Lám. 10. Esqueleto perteneciente al Individuo 2



Lám. 11. Detalle del esqueleto del Individuo 2



Lám. 12. Esqueleto perteneciente al Individuo 3.



Lám. 13. Detalle del esqueleto del Individuo 3 con un proyectil de bala localizado junto a la pelvis.



Lám. 14. Esqueleto perteneciente al Individuo 4.



Lám. 15. Detalle del esqueleto del Individuo 4 recubierto por una tela negra perteneciente al chaleco.



Lám. 16. Esqueleto perteneciente al Individuo 5.



Lám. 17. Detalle del cráneo del Individuo 5 con un proyectil de bala localizado en la cabecera de la fosa.



Lám. 18. Esqueleto perteneciente al Individuo 6.



Lám. 19. Detalle del esqueleto del Individuo 6 con un proyectil de bala localizado en la pelvis.



Lám. 20. Detalle del esqueleto del Individuo 6 con unas lentes de gafas localizadas a la altura del tórax.



**Lám. 21.** Imagen de la Fosa II una vez acabada la exhumación.



**Lám. 22.** Acto de homenaje con los familiares de las víctimas en la fosa.

### 2.3.3.- Tareas de identificación

El proceso de identificación de las víctimas contempla dos estudios diferenciados, si bien complementarios. Por un lado, el análisis antropológico y patológico basado en el examen de los restos osteológicos y, por otro, el estudio genético de ADN. En todo caso, el punto de partida lo constituyen los datos personales aportados por los familiares, pues permiten conocer no sólo la profesión, sino también la edad, sexo, estimación de la estatura, así como otros datos reseñables caso de patologías y hábitos (Tabla 1). Así pues, para concluir la identificación de las víctimas se hace necesario cotejar la información disponible recabada a través de los testimonios orales como aquella procedente de archivos, con los resultados obtenidos de los estudios antropológicos. Como resultado se obtendrá una identificación «tentativa», «circunstancial» o «presuntiva», lo cual no significa sino una probable identificación. Únicamente se podrá hablar de identificación «positiva» en aquellos casos que se corrobore mediante el análisis genético, esto es, a través del ADN.

<b>DATOS ANTE MORTEM</b>			
<b>Identidad</b>	<b>Edad</b>	<b>Estatura estimada</b>	<b>Observaciones</b>
<b>Lázaro Esteban García</b>	47 años 17/12/1888	<160 cm	Nacido en Monasterio de la Sierra. Estaba casado y tenía varios hijos. Apodado “El Castrillín” por su baja estatura. Era dulzainero. Se aporta fotografía.
<b>Saturio Gómez Ibáñez</b>	28 años 02/10/1907	160-170 cm	Nacido en Castrillo de la Reina. Estaba soltero. Era labrador y secretario de la Casa del Pueblo de Castrillo de la Reina. De compleción física normal.
<b>Arturo Rubio Salas</b>	23 años 21/10/1912	166 cm	Nacido en Castrillo de la Reina. Estaba casado y no tenía hijos. Era cantero y pertenecía a UGT. De compleción física normal. Se aporta fotografía.
<b>Nicolás Rubio Salas</b>	28 años 10/09/1907	160 cm	Nacido en Castrillo de la Reina. Estaba casado y tenía un hijo. Era cantero y concejal del Ayuntamiento de Castrillo de la Reina. Tenía heridas crónicas en la pierna derecha. Se aporta fotografía.
<b>Ponciano Salas Esteban</b>	36 años 19/11/1899	170-175 cm	Nacido en Castrillo de la Reina. Estaba viudo y tenía cinco hijos. Era labrador. Tuvo un accidente cuando trabajaba en el Ferrocarril Santander-Mediterráneo que le ocasionó cojera.
<b>Julián Santamaría Carretero</b>	41 años 16/08/1895	162 cm	Nacido en Castrillo de la Reina. Estaba soltero. Tenía dentadura con varias piezas de oro. Era el Alcalde de Castrillo de la Reina. Se aporta fotografía.

**Tabla 1.** Datos proporcionados por los familiares sobre las víctimas que yacían en la fosa común.



- *Análisis antropológico y patológico*

El fin del estudio antropológico es analizar los restos osteológicos humanos recuperados, estableciendo las causas y circunstancias que rodearon a la muerte y determinando la edad, sexo, estatura y patologías mediante el examen de los traumas registrados en los restos óseos, en este caso, diferenciando las posibles alteraciones *postmortem*. Todo ello con el fin de llegar a una identificación probable de las personas desaparecidas y demandadas por los familiares.

Para la determinación del sexo se han utilizado las recomendaciones de especialistas basadas en la morfología de los elementos óseos (Ferembach *et al.*, 1979). Estas consisten en la observación y valoración de ciertos caracteres en el cráneo y los coxales.

En cuanto al cálculo de la edad de la muerte de las víctimas se han aplicado las metodologías propuestas por un amplio elenco de expertos, si bien la utilización de unos métodos u otros obedece, principalmente, al rango de edad y conservación de los restos.

De tal manera que para la determinación de la edad en individuos juveniles que no han completado la fusión de las epífisis en huesos largos se sigue la propuesta de Brothwell (1987), para la fusión de las epífisis esternales de las clavículas la de Owings Webb y Suchey (1985) y para el inicio de unión de la cresta iliaca y la tuberosidad isquiática la de McKern y Stewart (1957).

Para la determinación de la edad en individuos adultos se han utilizado los métodos empleados por Todd (1920) (*cf.* White, 1991) y Suchey y Brooks (1990) que estiman la edad a partir de la valoración de los cambios producidos en los márgenes y superficie articular de la sínfisis púbica del coxal izquierdo. Otro método clásico es la estimación de la edad a partir de la valoración de la osificación del cartílago esternal de la cuarta costilla izquierda (Işcan *et al.*, 1984), aunque de posible aplicación para la costilla derecha (Galera *et al.*, 2003).

Otros procedimientos, menos efectivos, son útiles cuando se calcula la edad del individuo junto con los métodos ya descritos. Así, para la estimación de la edad mediante la valoración del grado de obliteración de las suturas exocraneales se ha utilizado, entre los numerosos métodos, el elaborado por Montagu (1960) (*cf.* Rivero de la Calle, 1985) y Lovejoy *et al.* (1985). A pesar de ser la metodología más clásica para la estimación de la edad, la amplia variabilidad en los resultados no la hace muy efectiva. Al igual que la valoración de las suturas, la determinación de la edad a partir del desgaste dental es complicada al existir diversos factores que influyen en el grado de desgaste. En este método la estimación de la edad se realiza por comparación con otras poblaciones ya estudiadas (Brothwell, 1987). También se utiliza el patrón de desgaste de las distintas piezas dentales según Perizonius. Mayor variabilidad que los anteriores

parece presentar la osificación del cartílago tiroides (Cerný, 1983; Krogman e Isçan, 1986).

Finalmente, para el cálculo de la estatura se han utilizado las fórmulas de Pearson, las tablas de Manouvrier y las de Trotter y Glesser (Olivier, 1969), así como las fórmulas regresivas y tablas de M.C. de Mendonça (2000) para poblaciones actuales. La medida que se ha usado es la longitud máxima del fémur derecho.

A.-Descripción individualizada de los restos óseos

## INDIVIDUO 1

### Descripción

Individuo en posición decúbito supino. Tenía ambos brazos semiflexionados sobre el tórax y las extremidades inferiores estiradas.

### Aspectos antropológicos

El esqueleto pertenece a un individuo adulto de sexo masculino con una edad de 35-39 años y una estatura estimada de 169-172 cm.

El estado de conservación en el que se encuentran los restos óseos no es bueno, debido a la degradación provocada por la acción conjunta de la naturaleza arcillosa del terreno, del agua existente en el subsuelo y la materia vegetal. Todos estos elementos han provocado la destrucción de las epífisis de los huesos largos y que el tejido óseo se desintegre y se destruya casi completamente.

Longitud máxima fémur izquierdo: 467 mm  
Diámetro cabeza femoral derecha: 48.5 mm  
Diámetro cabeza femoral izquierda: 48.3 mm  
Longitud máxima tibia derecha: 381 mm  
Longitud máxima tibia izquierda: 382 mm  
Longitud máxima cúbito derecho: 245 mm  
Longitud clavícula derecha: 149 mm

### Estudio dental

Esta persona poseía fundas de oro en varias piezas dentales y coronas de porcelana tipo Steele, tanto en el maxilar como en la mandíbula. A pesar de que el maxilar se encuentra totalmente destruido probablemente por la acción conjunta de los elementos naturales (terreno, materia vegetal y agua) fue posible recuperar algunas de las piezas dentales. Las piezas 13, 14, 15 y 17 presentan funda de oro, la pieza 16, perdida en vida fue sustituida por una corona de porcelana tipo Steele. En la parte izquierda la 24 y 26 se perdieron *ante mortem*, colocándose en su lugar coronas de porcelana. Las piezas 25 y 27 presentan funda de oro (Lám. 25). En la mandíbula las piezas 33 y 34 poseen funda, y las piezas 35, 36 y 37 se perdieron en vida y fueron sustituidas por coronas de porcelana y troqueladas en oro. Existe un espacio entre estas piezas y la pieza 38 debido a que las piezas sustituidas presentan un tamaño inferior al de las piezas originales. En el lado derecho las piezas 43 y 44 presentan funda de oro y las piezas 45 y 46 perdidas en vida fueron sustituidas por coronas de porcelana también recubiertas por una funda de oro (Lám. 26, 27 y 28).

### Lesiones del *peri mortem*

El alto grado de fracturación en el cráneo y macizo facial se relaciona con el impacto de un proyectil aunque, tras la reconstrucción del cráneo (Lám. 29 y 30), no ha sido posible identificar los orificios ni de entrada ni salida. Probablemente el proyectil entró por un temporal y salió por el temporal del lado contrario. El proyectil siguió una trayectoria horizontal, siendo imposible determinar el sentido del mismo.

### Patologías

El deterioro que presentan todos los elementos óseos ha impedido el diagnóstico de las posibles patologías que pudiera presentar este individuo.

### Objetos personales asociados

Se ha recuperado un cinturón de cuero con una hebilla metálica que llevaba inscrita la letra 'J' en posible alusión a su nombre (Julián) (Lám. 23), así como las suelas de goma del calzado correspondientes a unas alpargatas del número 42 y de la marca Codina (Lám. 24).

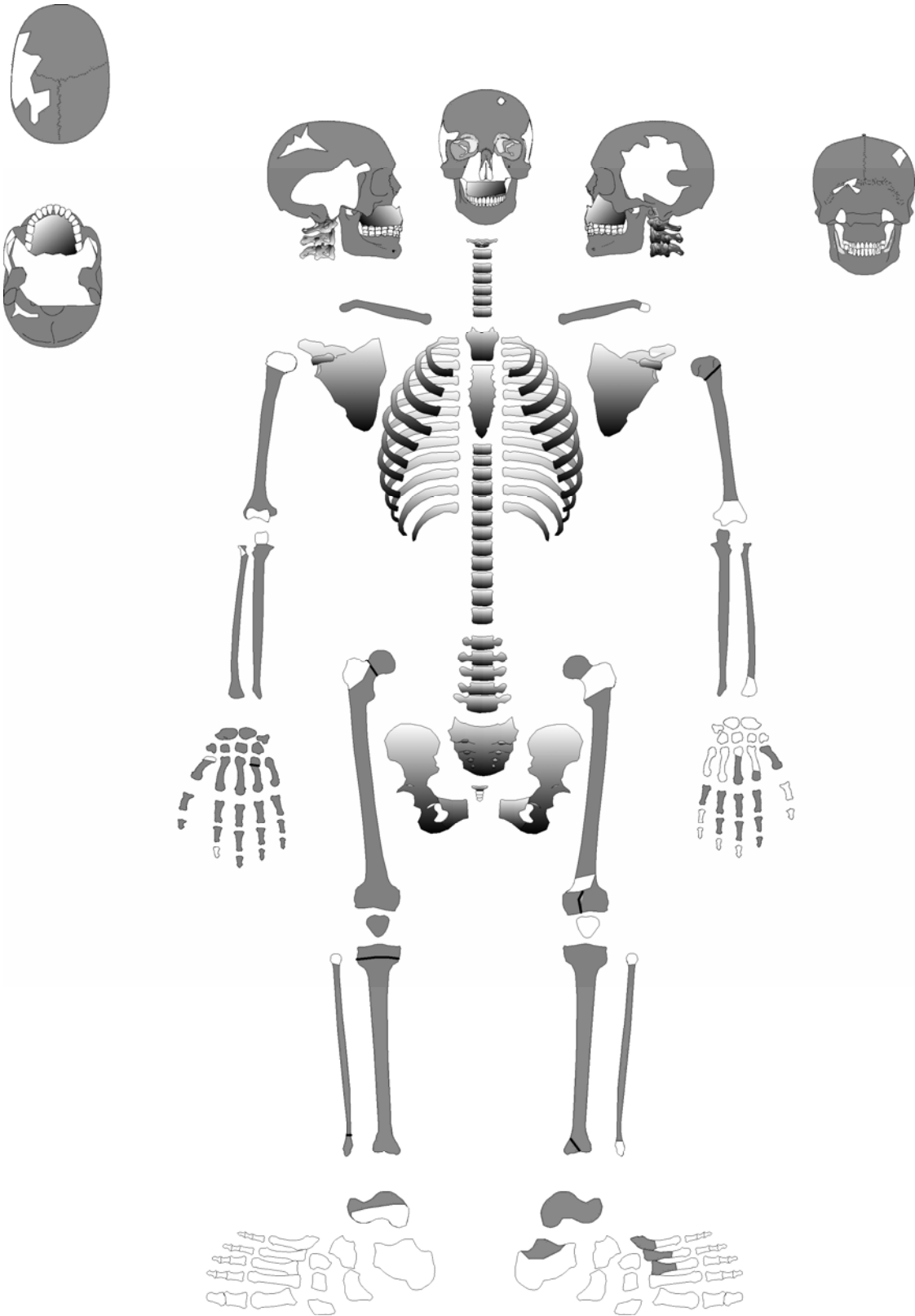


Lám. 23. Cinturón con hebilla donde se observa la inscripción de una 'J'.



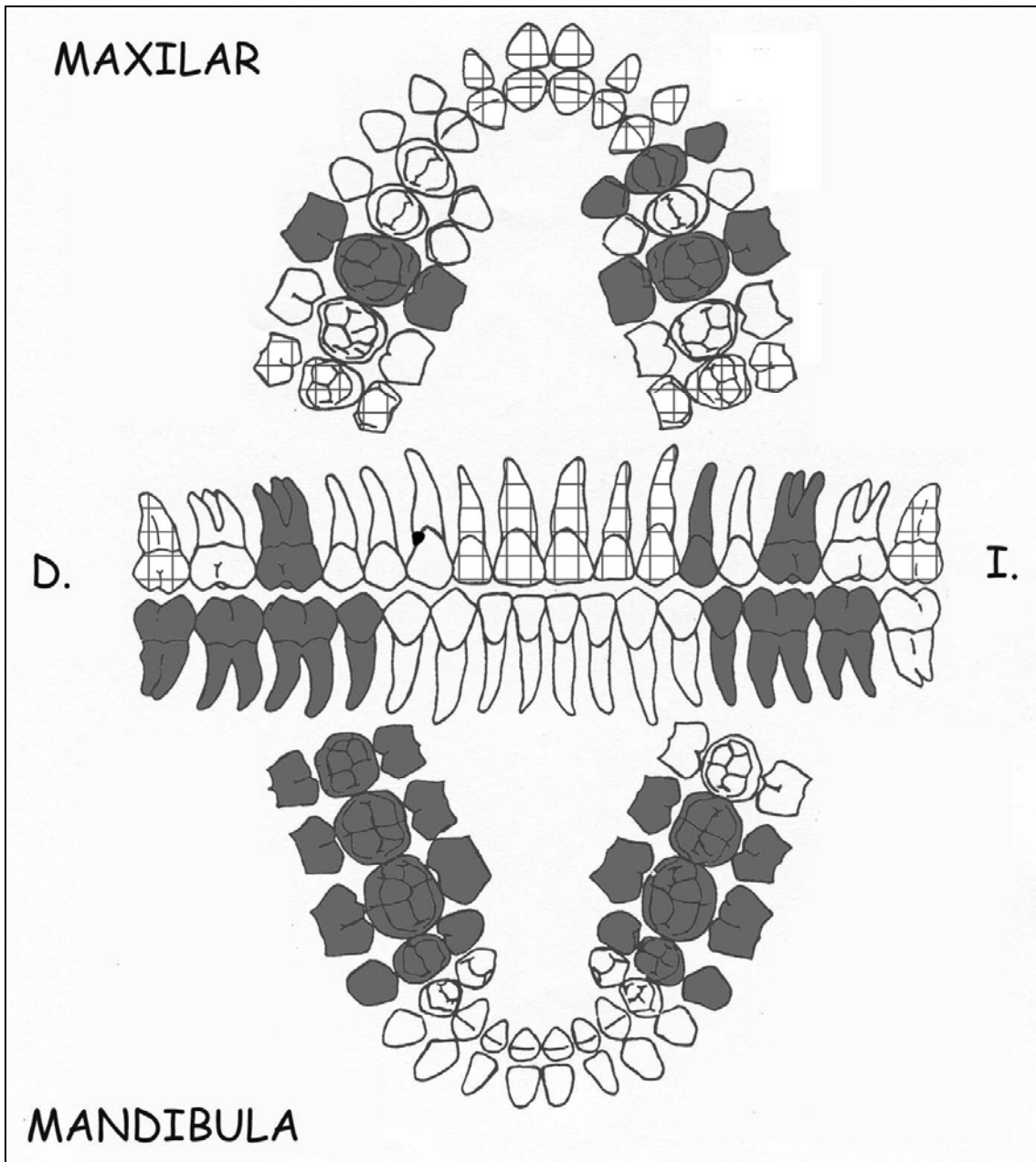
Lám. 24. Suelas de goma de las alpargatas que calzaba el Ind. 1.

# INDIVIDUO 1



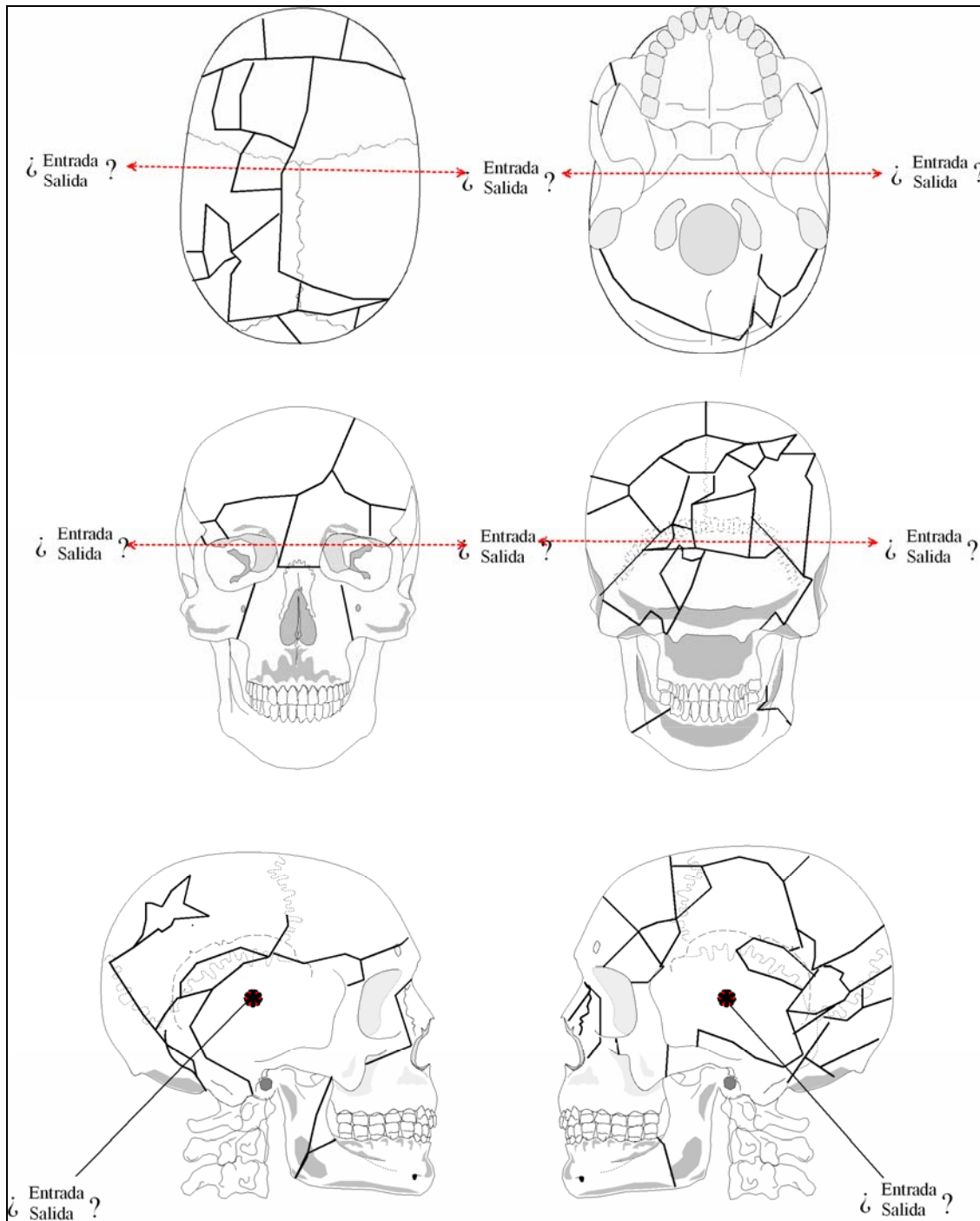
- Presente
- Ausente
- Presente muy deteriorado

# FICHA DENTAL



- Piezas presentes
- Piezas perdidas *ante mortem*
- Piezas perdidas *post mortem*
- Piezas perdidas *peri mortem*
- Piezas no erupcionadas
- Caries

# IMPACTOS DE PROYECTIL



- Entrada
- \* Salida
- ⊗ Sin salida





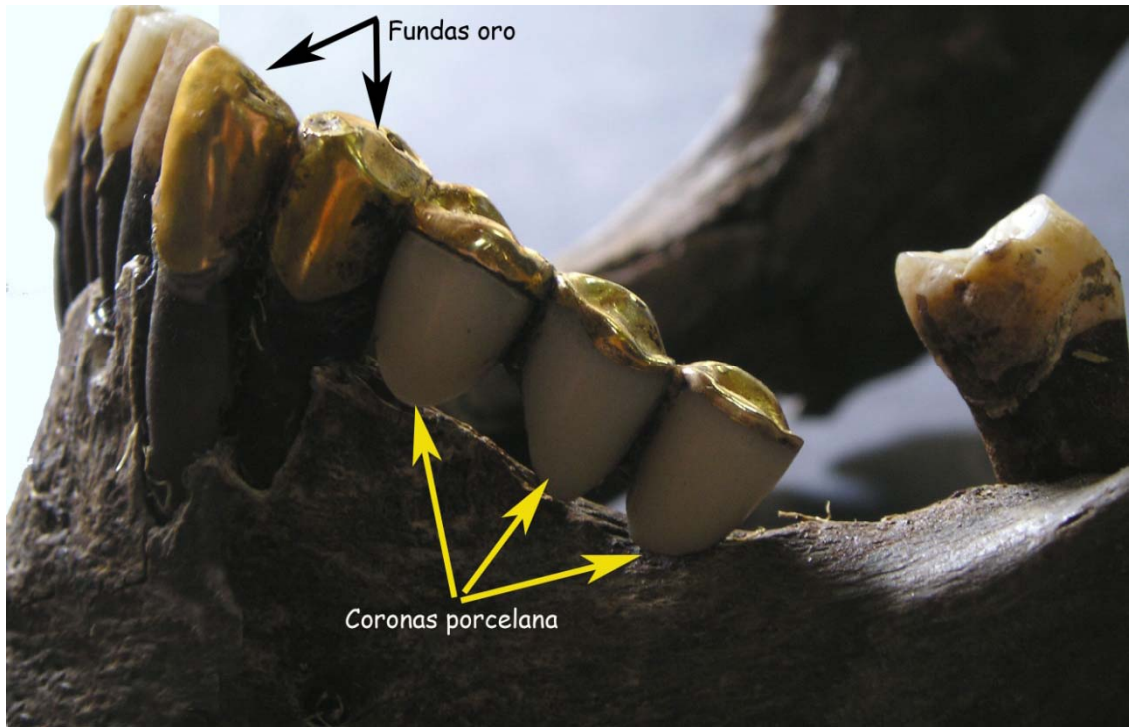
**Lám. 25.** Piezas dentales recuperadas del maxilar. Esta persona tenía piezas recubiertas con una funda de oro y piezas sustituidas por coronas de porcelana tipo Steele.



**Lám. 26.** Piezas con fundas de oro en la mandíbula.



**Lám. 27.** Piezas recubiertas con una funda de oro y piezas sustituidas por corona de porcelana en la parte izquierda de la mandíbula.



Lám. 28. Parte izquierda de la mandíbula.



Lám. 29. Estado del cráneo antes de la reconstrucción.



**Lám. 30.** Cráneo después de la reconstrucción. Se observa una ausencia ósea importante en ambos temporales y parietales.

## INDIVIDUO 2

### Descripción

Individuo en posición decúbito supino con la cabeza ladeada hacia el Norte. El cráneo se encuentra sobre el antebrazo izquierdo del Individuo 5. El tórax está encima de las piernas y pelvis del Individuo 5. Brazo izquierdo semiflexionado sobre el coxal izquierdo del Individuo 6. Piernas totalmente estiradas. La parte derecha de este individuo fue afectada por los trabajos de la máquina retroexcavadora.

### Aspectos antropológicos

Individuo de sexo masculino adulto joven de 24-28 años y con una estatura estimada de 161-163 cm.

Longitud máxima fémur derecho: 428 mm  
Longitud máxima fémur izquierdo: 427 mm  
Diámetro cabeza femoral derecha: 44.4 mm  
Diámetro cabeza femoral izquierda: 45.4 mm  
Longitud máxima tibia derecha: 344 mm  
Longitud máxima tibia izquierda: 345 mm  
Longitud máxima húmero izquierdo: 317 mm  
Longitud máxima radio izquierdo: 231 mm

### Estudio dental

El macizo facial no se recuperó debido a que fue afectado por los trabajos de la máquina retroexcavadora (Lám. 34).

### Lesiones del *peri mortem*

Se ha constatado la existencia de dos impactos de proyectil de arma de fuego (Lám. 35). El orificio de entrada del primer proyectil de 9 mm de diámetro se encuentra en la región occipital izquierda, cerca de la sutura lambdoidea (Lám. 36). Parte del orificio de salida, donde se observa la ausencia de tabla externa, se localiza en el frontal, en la parte media, entre las órbitas. El proyectil siguió una trayectoria ascendente de izquierda a derecha. El segundo proyectil entró por el temporal izquierdo, en la escama. Se observa un orificio de 9 mm de diámetro, apreciándose la ausencia tanto de tabla externa como de tabla interna, relacionándose con una distancia muy corta en el disparo. El alto grado de fragmentación en el parietal derecho apunta la situación del orificio de salida (Lám. 37). El proyectil siguió una trayectoria ascendente de izquierda a derecha.

### Patologías

Se diagnostica la ausencia de epitróclea en el húmero izquierdo (Lám. 38). En la epitróclea se anclan el pronador redondo, los músculos flexores del carpo y de los dedos, excepto del pulgar, comprometidos en los movimientos pronadores del brazo y la flexión de la muñeca y los dedos. El peroné derecho presenta una curvatura anormal diagnosticándose una enthesopatía que podría evidenciar el estrés funcional ejercido con la extremidad (Lám. 39).

### **Objetos personales asociados**

Se han recuperado una hebilla de chaleco (Lám. 31), dos botones negros (Lám. 32), así como las suelas de goma del calzado correspondientes a unas alpargatas del número 40 de la marca Codina (Lám. 33).



**Lám. 31.** Hebilla de chaleco.



**Lám. 32.** Botones negros.



**Lám. 33.** Suelas de goma de las alpargatas que calzaba el Ind. 2.

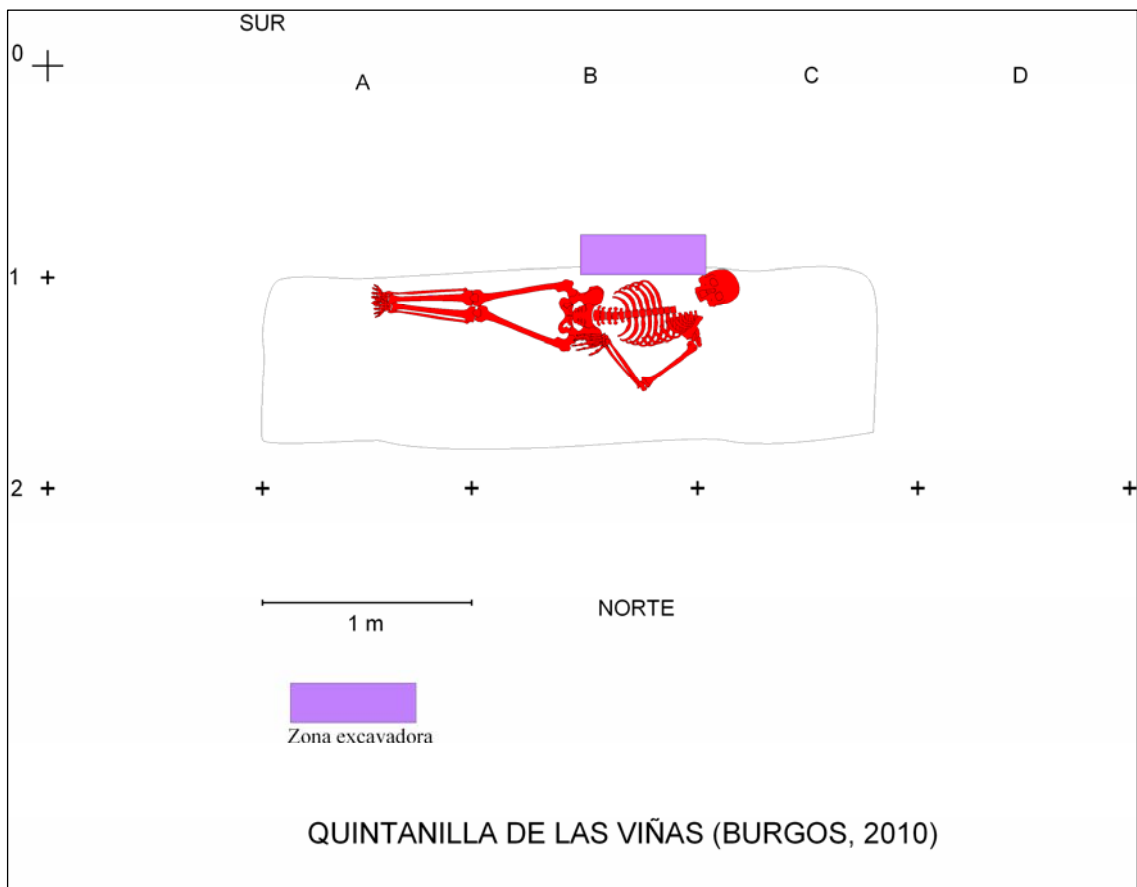
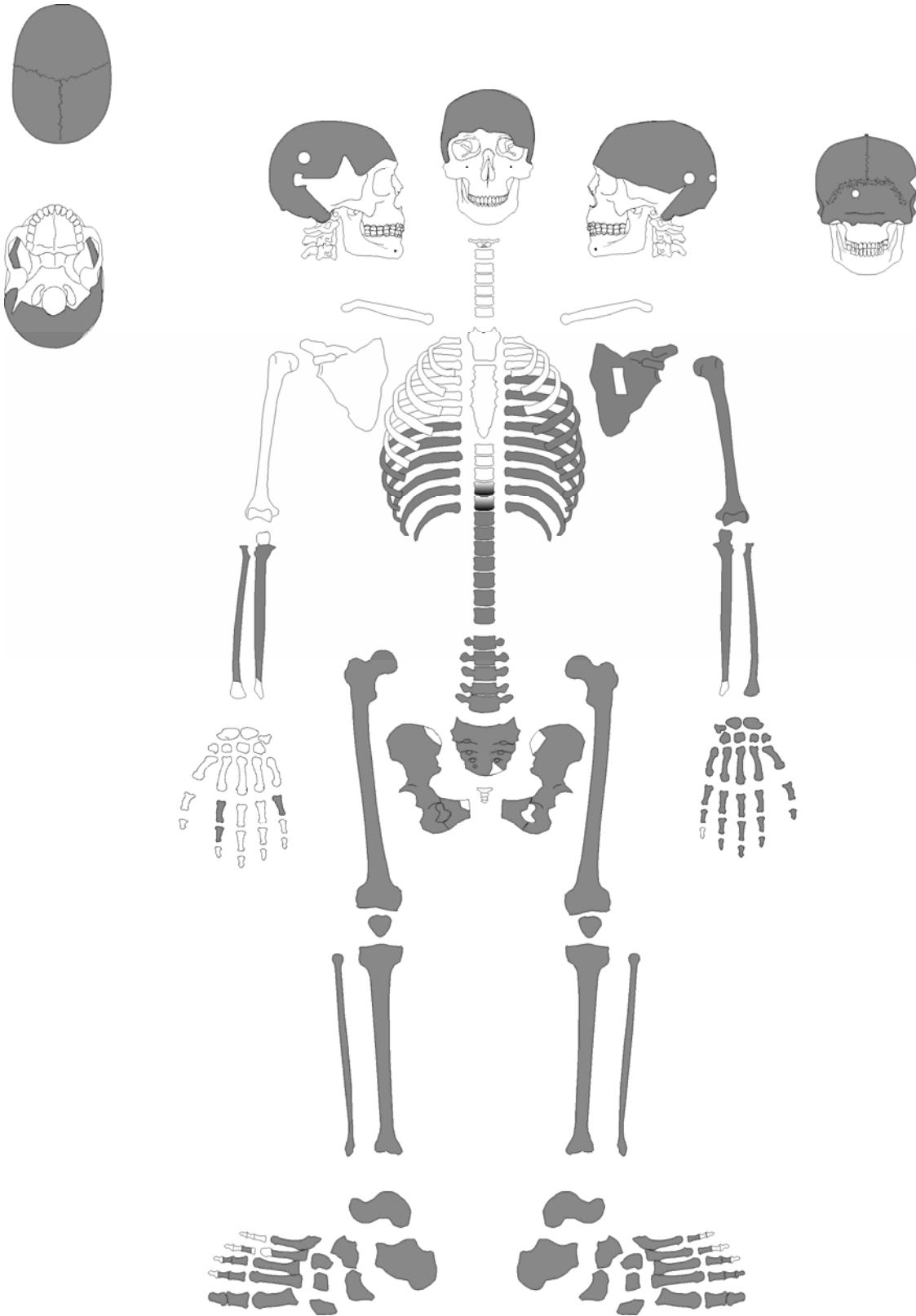


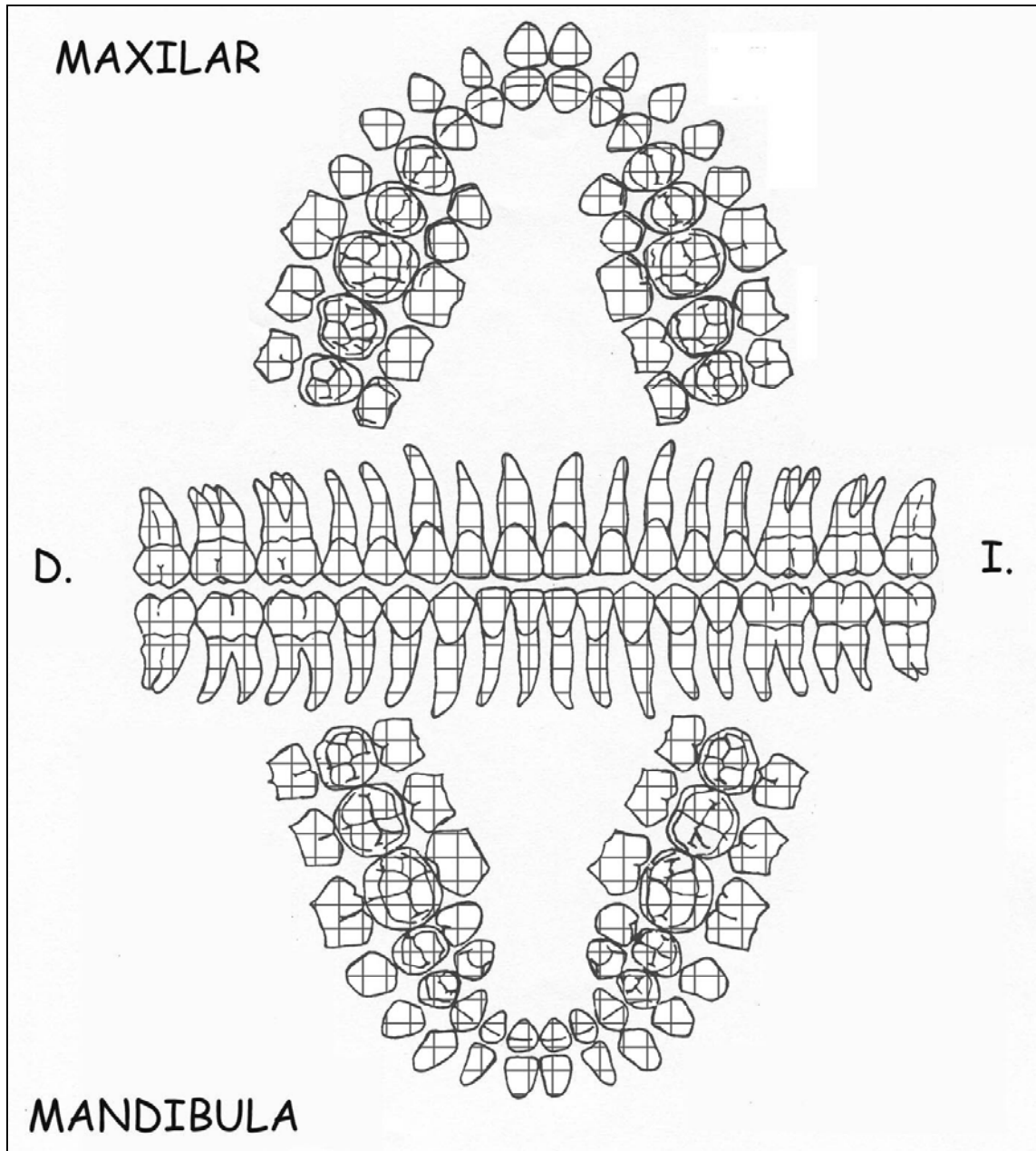
Fig. 5. Ubicación del Individuo 2 en la Fosa II.

# INDIVIDUO 2



- Presente
- Ausente
- Presente muy deteriorado

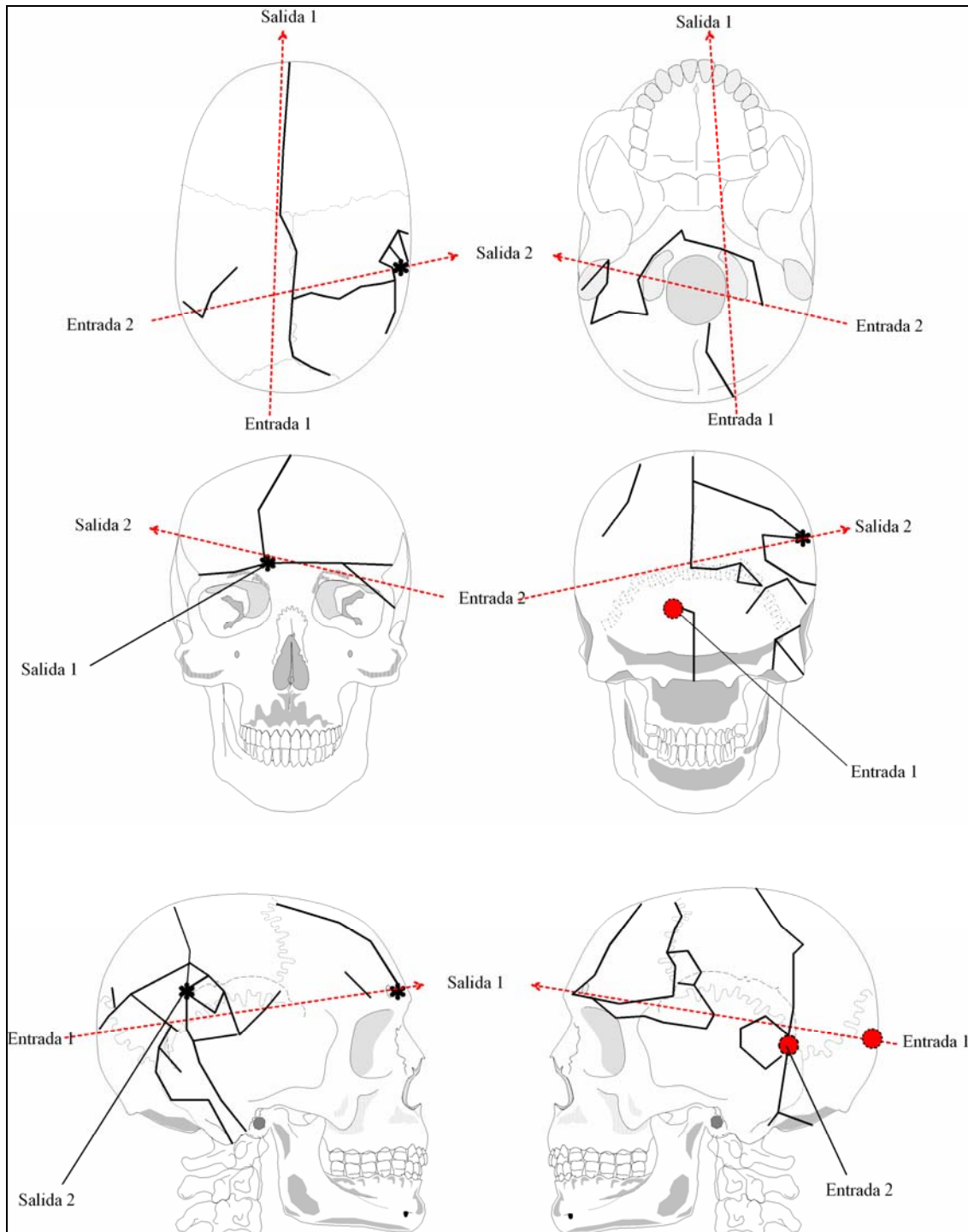
# FICHA DENTAL






- Piezas presentes
- Piezas perdidas *ante mortem*
- Piezas perdidas *post mortem*
- Piezas perdidas *peri mortem*
- Piezas no erupcionadas
- Caries



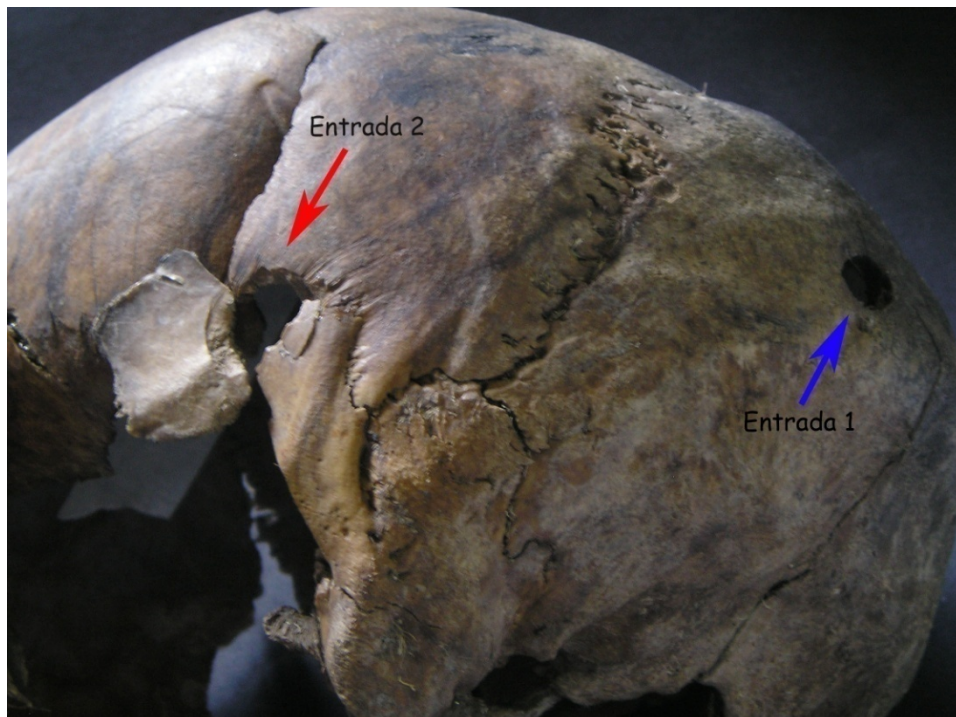
# IMPACTOS DE PROYECTIL



-  Entrada
-  Salida
-  Sin salida



Lám. 34. La máquina retroexcavadora afectó a la parte derecha del cuerpo.



Lám. 35. Orificios de entrada de los dos proyectiles que impactaron en el cráneo.



**Lám. 36.** Orificio de entrada del primer proyectil.



**Lám. 37.** Orificio de salida del segundo proyectil. Se puede observar el orificio de entrada en el lado contrario.



**Lám. 38.** Ausencia de la epitroclea en el húmero.



**Lám. 39.** Enthesopatía en el peroné. Se observa una curvatura notable en la diáfisis debido al estrés soportado por esa articulación.

## INDIVIDUO 3

### Descripción

Individuo en posición decúbito prono. Cabeza mirando hacia el Norte. Brazo izquierdo ligeramente flexionado encima del brazo izquierdo del Individuo 4. Brazo derecho totalmente estirado delimitando el borde la fosa. Piernas extendidas encima de las piernas del Individuo 5.

### Aspectos antropológicos

Individuo de sexo masculino con una edad estimada de 45-50 años y una estatura baja de 153-156 cm. Diversas partes anatómicas presentan un estado de conservación muy frágil debido a la acción de los elementos naturales (terreno arcilloso, alto grado de humedad y presencia de materia vegetal) que han contribuido a que los elementos óseos se destruyan *in situ* en el proceso de excavación.

Longitud máxima fémur derecho: 400 mm  
Longitud máxima fémur izquierdo: 400 mm  
Diámetro cabeza femoral derecha: 43.2 mm  
Diámetro cabeza femoral izquierda: 43.6 mm  
Longitud máxima tibia derecha: 330 mm  
Longitud máxima tibia izquierda: 334 mm  
Longitud máxima húmero derecho: 290 mm  
Longitud máxima radio izquierdo: 210 mm  
Longitud máxima cúbito izquierdo: 233 mm  
Longitud clavícula derecha: 138 mm  
Longitud clavícula izquierda: 140 mm

### Estudio dental

El análisis de las piezas dentales arroja datos sobre la edad madura de esta persona. La pérdida de piezas *ante mortem* es notable tanto en el maxilar como en la mandíbula. Las piezas 13 y 14 se encuentran reducidas a un fragmento de raíz observándose en el tejido óseo dos abscesos que evidencian la infección presente en la zona. Las piezas 16 y 18 se perdieron en vida. Las piezas 11, 12, 15 y 17 exhiben caries en diferente grado. Las piezas 24, 26, 27 y 28 también se perdieron en vida (Lám. 42 y 43). De la 26 aún quedan unos pequeños fragmentos correspondientes a la raíz. En la mandíbula se perdieron en vida los molares de ambos lados y las piezas 44 y 45, donde se observa un absceso apical. Las piezas 34 y 35 presentan caries (Lám. 44, 45 y 46). Se diagnostica un retroceso alveolar importante, de 9 mm.

### Lesiones del *peri mortem*

El cráneo exhibe un alto grado de fragmentación al igual que ausencia ósea. Se han localizado dos orificios de salida, en los que se aprecia la característica ausencia de

la tabla externa (Lám. 47). La ausencia ósea en el temporal izquierdo se relaciona con la entrada de uno de los dos proyectiles que impactaron (Lám. 48). La salida se encuentra en la parte derecha del frontal. El proyectil siguió una trayectoria ascendente de izquierda a derecha. El segundo proyectil entró por el occipital, en el borde correspondiente al forámen magnum, con un diámetro de 7 mm aproximadamente. La salida se localiza en el parietal derecho. El proyectil siguió una trayectoria ascendente de izquierda a derecha. La espina del axis se encuentra fracturada *peri mortem* debido, probablemente al paso del segundo proyectil (Lám. 49).

## Patologías

Las patologías que se han diagnosticado en esta persona corresponden con las lesiones degenerativas articulares correspondientes a una persona de edad madura. Las vértebras cervicales presentan signos artrósicos en las carillas articulares (Lám. 50). Se diagnostican nódulos de Schmörl en las todas las vértebras torácicas a partir de la quinta, así como deformación del cuerpo vertebral en la séptima y octava. En la primera vértebra lumbar se observa la presencia de un nódulo de Schmörl. La tercera exhibe eburnación en las carillas articulares para la cuarta lumbar. En la quinta se observa un acuñamiento en el cuerpo vertebral. En la articulación de la tibia con el calcáneo y en el astrágalo de la pierna derecha se observa el tejido esponjoso al descubierto, otro signo más del desgaste articular sufrido (Lám. 51).

## Objetos personales asociados

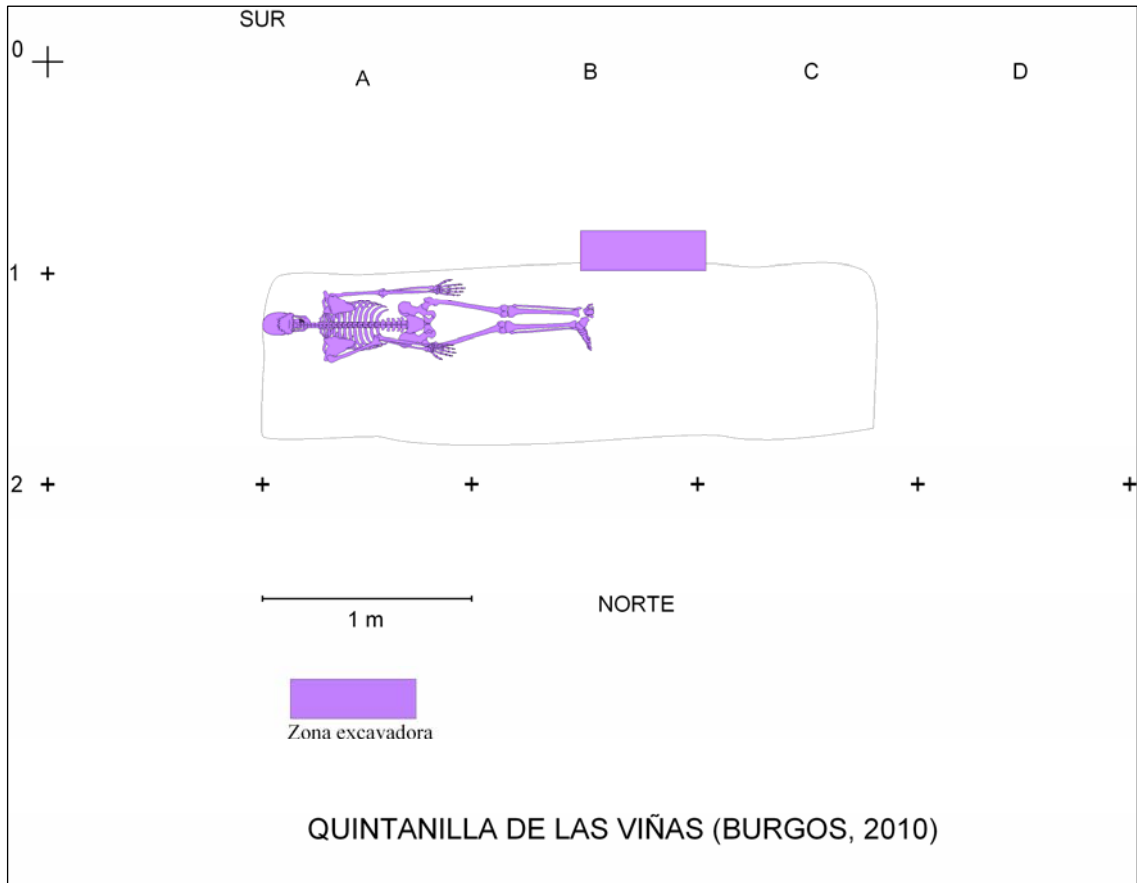
Se han recuperado una hebilla metálica (Lám. 40) y las suelas de goma correspondientes a unas alpargatas (Lám. 41).



Lám. 40. Hebilla metálica.

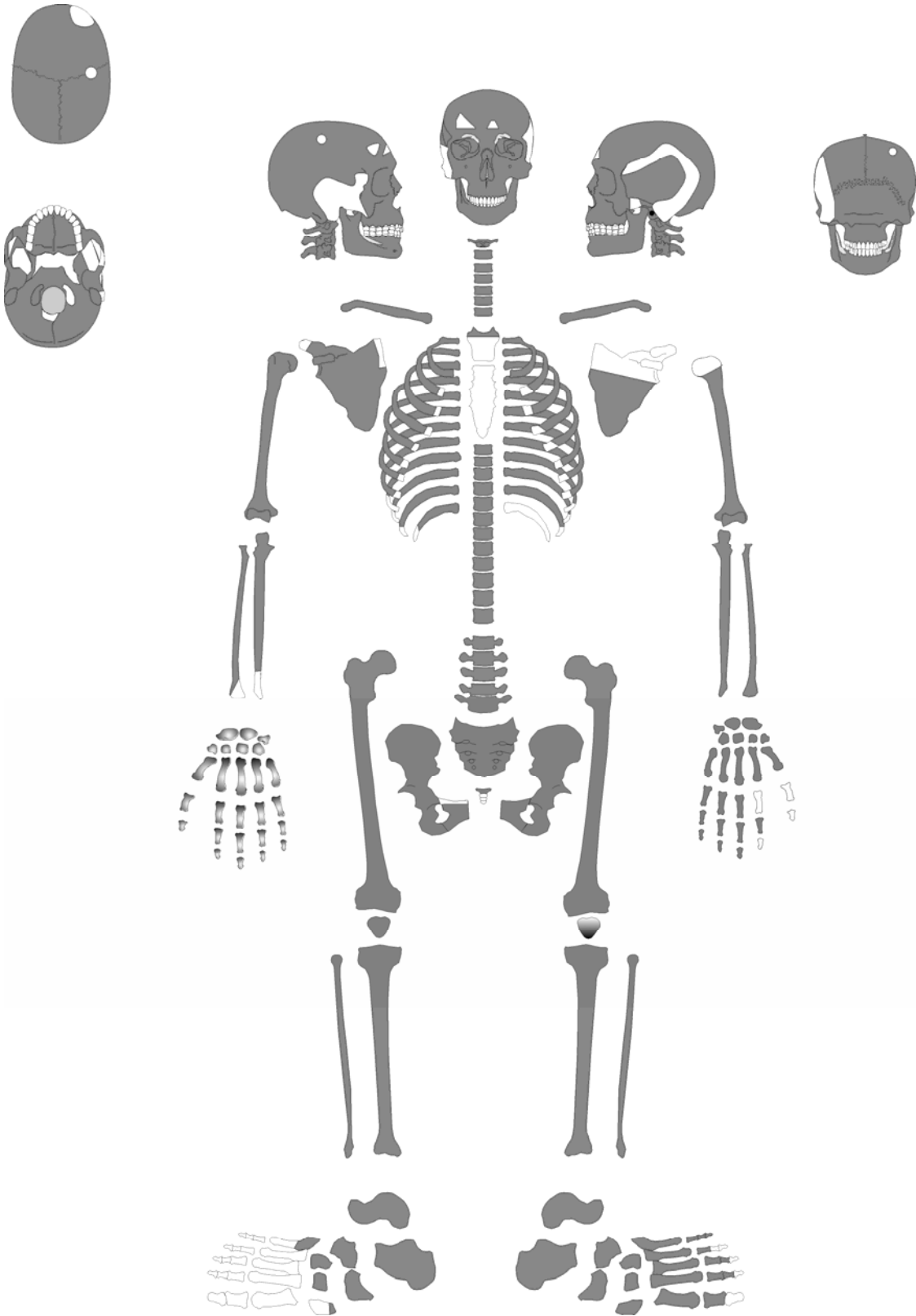


Lám. 41. Suelas de goma de las alpargatas que calzaba el Ind. 3.



**Fig. 6.** Ubicación del Individuo 3 en la Fosa II.

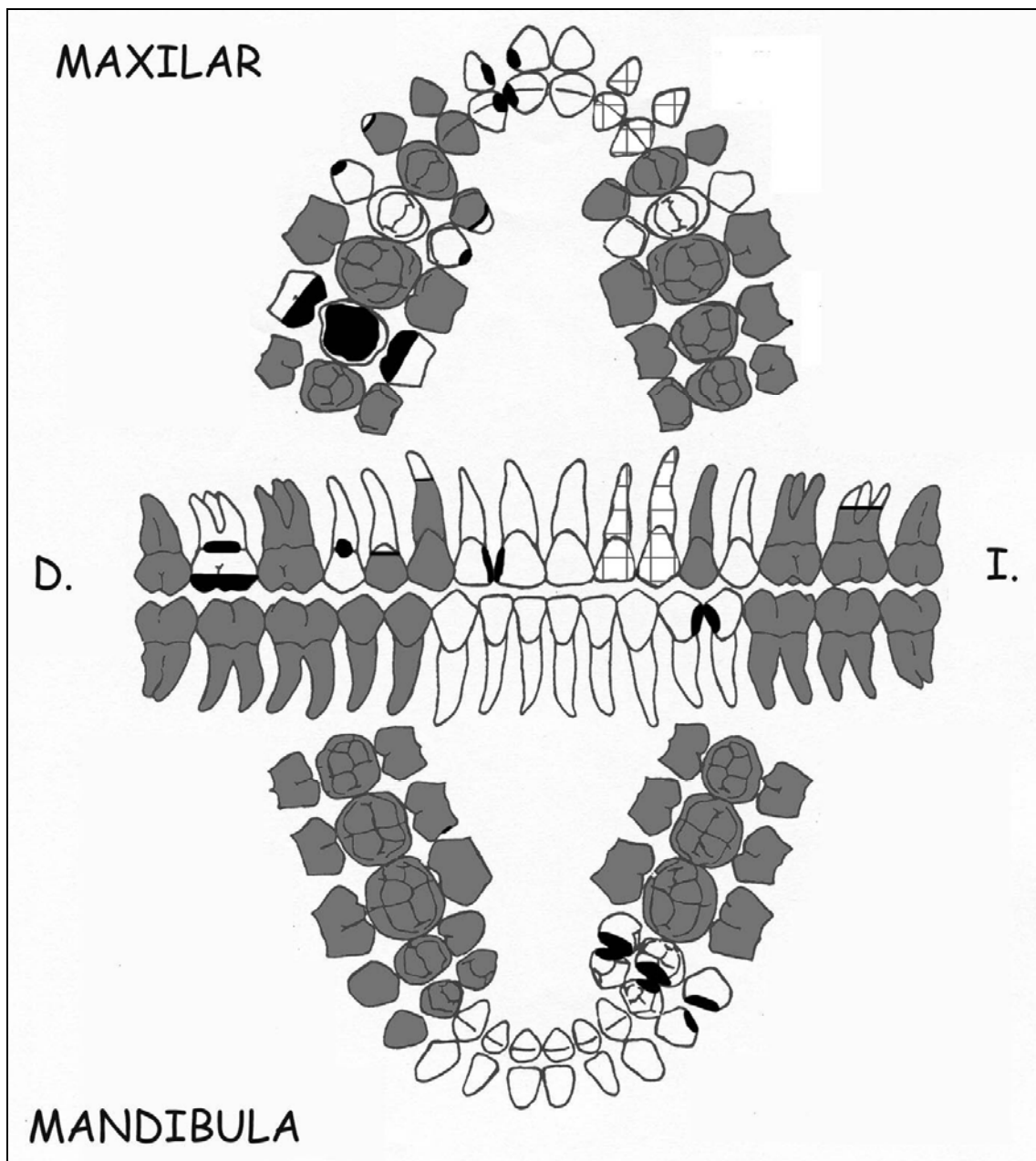
# INDIVIDUO 3



- Presente
- Ausente
- Presente muy deteriorado

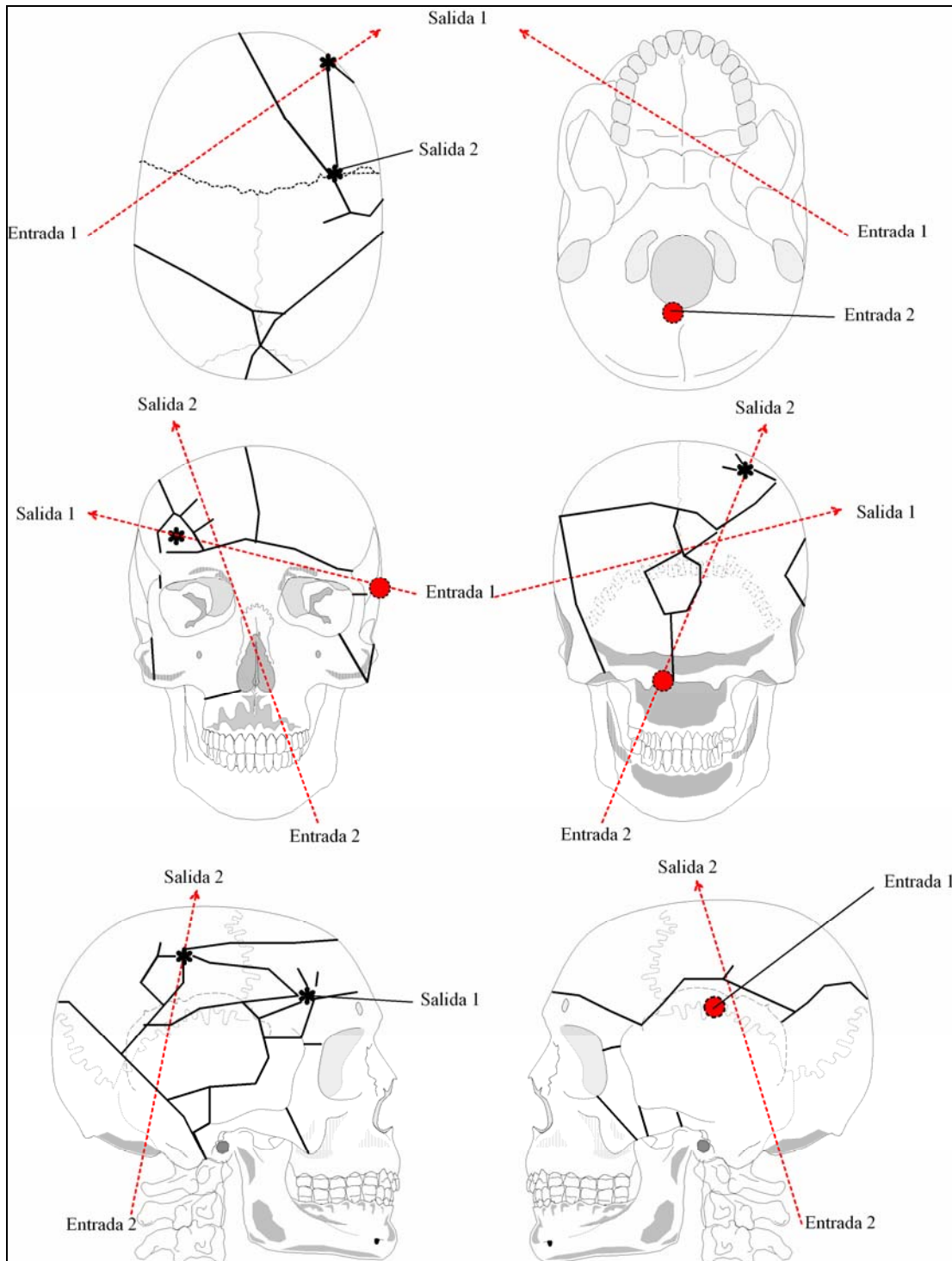





# FICHA DENTAL



- Piezas presentes
- Piezas perdidas *ante mortem*
- ▣ Piezas perdidas *post mortem*
- ▤ Piezas perdidas *peri mortem*
- ▥ Piezas no erupcionadas
- Caries

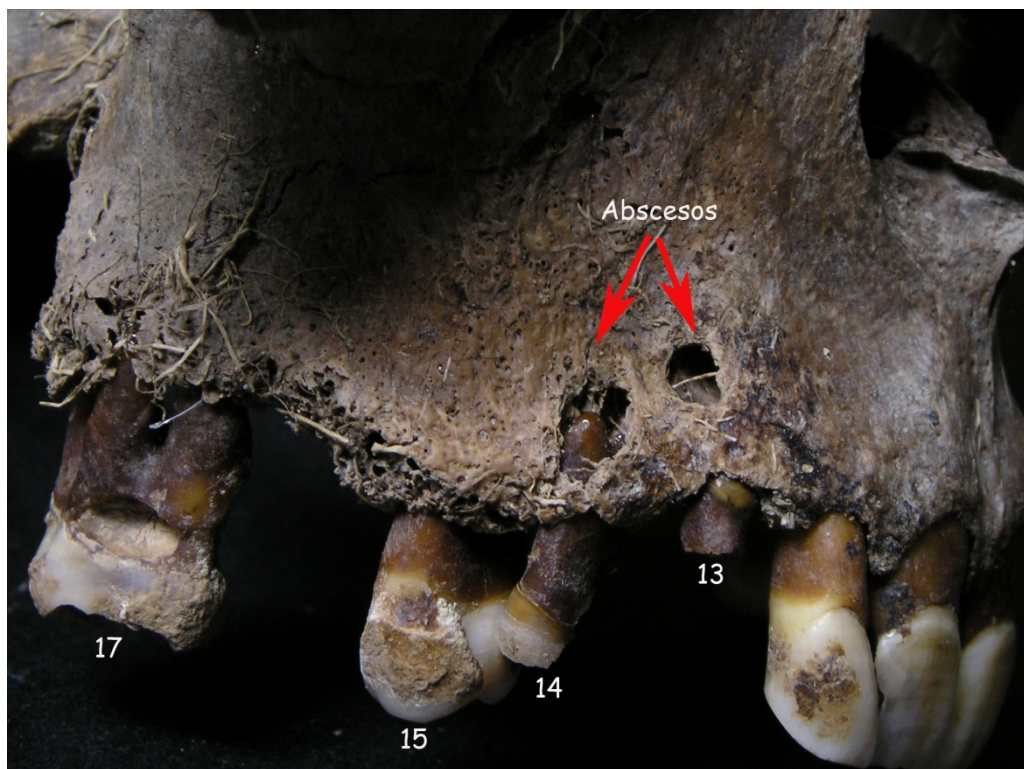
# IMPACTOS DE PROYECTIL



-  Entrada
-  Salida
-  Sin salida



**Lám. 42.** Pérdida de piezas en el maxilar. Obsérvese el grado de desgaste que presenta la superficie oclusal de las piezas así como las que están destruidas por caries.



**Lám. 43.** Parte derecha del maxilar donde se aprecian las piezas afectadas por la caries. En la zona correspondiente a la raíz de las piezas 13 y 14 se encuentran abscesos periapicales. Los depósitos de sarro son evidentes.



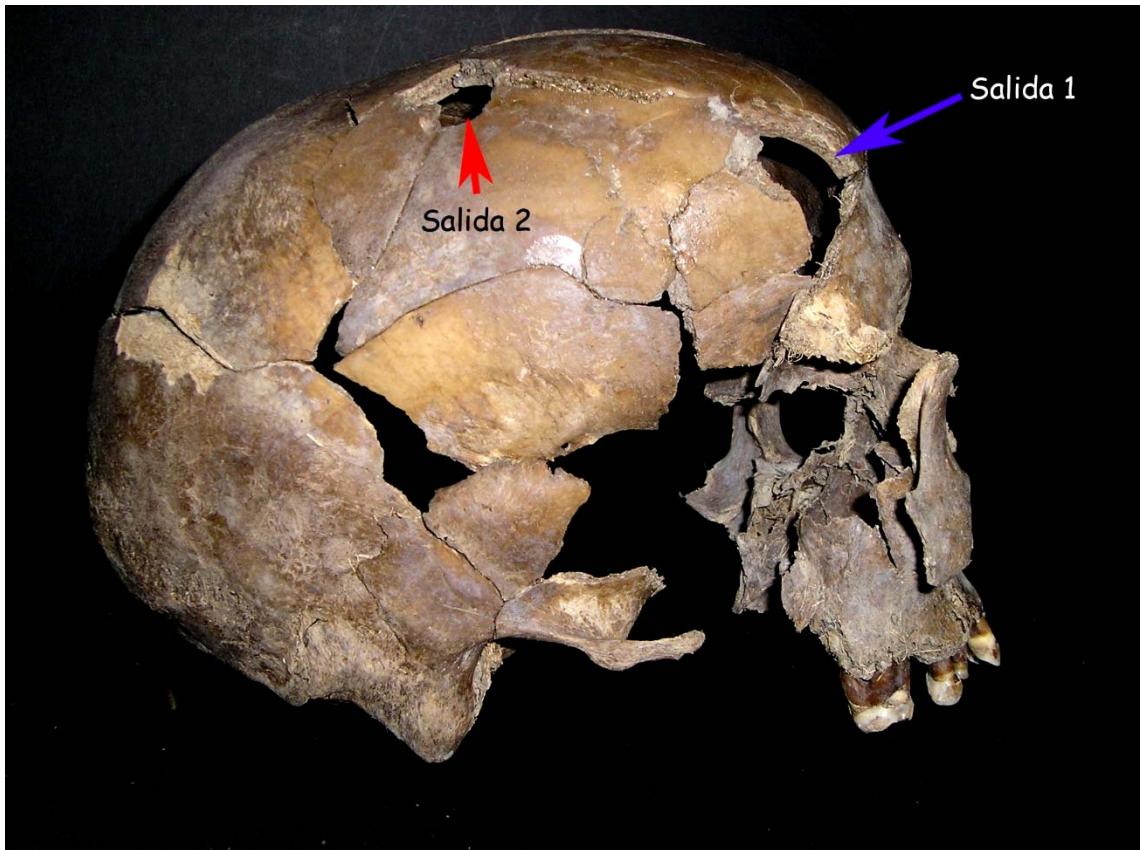
Lám. 44. Piezas afectadas por caries en la parte izquierda de la mandíbula.



Lám. 45. Pérdida de piezas en vida en la mandíbula.



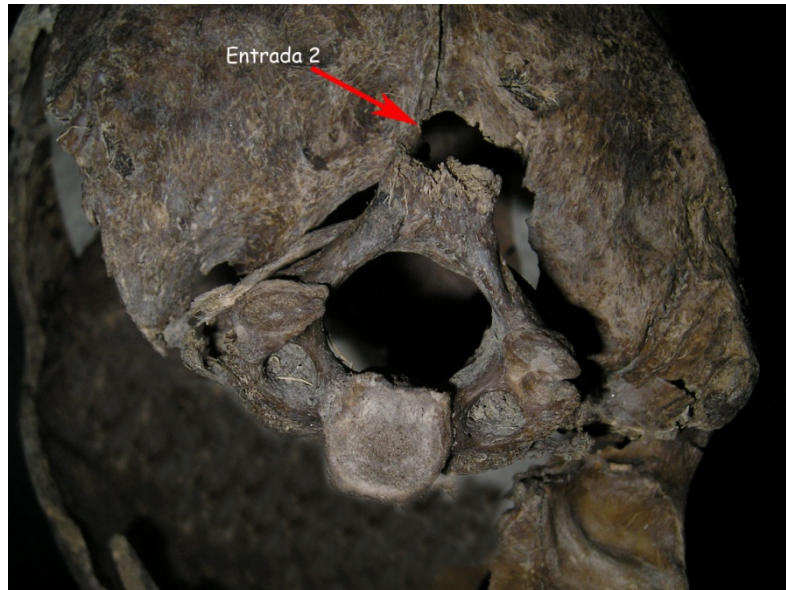
Lám. 46. Piezas dentales en la mandíbula donde se aprecian el desgaste, los depósitos de sarro y las caries.



Lám. 47. Orificios de salida de los proyectiles que impactaron en el cráneo.



Lám. 48. La ausencia ósea en el temporal se atribuye al impacto de un proyectil de arma de fuego.



**Lám. 49.** Entrada del segundo proyectil por el occipital, en el borde del forámen magnum. En su trayectoria afectó a la espina del axis.



**Lám. 50.** Degeneración articular en una vértebra cervical: en el cuerpo vertebral y en una carilla articular.



**Lám. 51.** Superficie articular del astrágalo con el tejido esponjoso al descubierto como consecuencia de la degeneración articular.

## INDIVIDUO 4

### Descripción

Individuo en posición decúbito supino. Cabeza orientada hacia el sur. Húmero izquierdo debajo del tórax. El antebrazo se encuentra en posición vertical forzado probablemente por el Individuo 3. Brazo derecho extendido a lo largo del perfil. Piernas semiflexionadas sobre las piernas del Individuo 6. Pies juntos en el perfil.

### Aspectos antropológicos

Individuo de sexo masculino adulto joven de 27-30 años y una estatura media de 162-166 cm. Diestro. El estado de conservación en el que se encuentran los restos óseos de este individuo es muy frágil. La acción conjunta sobre el hueso de la materia vegetal, el terreno arcilloso y la alta concentración de agua en el terreno son posiblemente los causantes de la degradación de numerosas partes anatómicas.

Longitud máxima fémur derecho: 434 mm  
Longitud máxima fémur izquierdo: 431 mm  
Diámetro cabeza femoral derecha: 42.8 mm  
Diámetro cabeza femoral izquierda: 40.7 mm  
Longitud máxima tibia derecha: 348 mm  
Longitud máxima tibia izquierda: 348 mm  
Longitud máxima húmero derecho: 300 mm  
Longitud máxima húmero izquierdo: 297 mm  
Longitud máxima cúbito derecho: 240 mm  
Longitud máxima cúbito izquierdo: 233 mm  
Longitud máxima radio derecho: 220 mm.  
Longitud clavícula derecha: 151 mm  
Longitud clavícula izquierda: 148 mm

### Estudio dental

El desgaste que sufren las piezas es mínimo, asociándolo con la juventud de la persona. Se observan varias piezas destruidas por caries, encontrándose únicamente las raíces (24, 25 y 47). Las piezas 36, 37 y 46 se perdieron en vida, encontrándose el alvéolo aún sin cerrar completamente (Lám. 56). En la zona correspondiente a la raíz de la 46 se diagnostica un absceso periapical, síntoma de la infección sufrida en la zona (Lám. 57). Las piezas 11, 22 y 38 presentan parte de la corona destruida por la caries (Lám. 58). En la mandíbula se detectan depósitos de sarro en la parte lingual de las piezas (Lám. 59).

### Lesiones del *peri mortem*

El cráneo se encuentra fracturado por causas *peri mortem* debido al impacto de dos proyectiles de arma de fuego. La entrada del primer proyectil se localiza en el occipital. Se trata de un orificio de 9 mm de diámetro y presenta la típica ausencia de

tabla interna. La salida se encuentra en el frontal, en la parte correspondiente a la órbita derecha, provocando la fractura del macizo facial. El proyectil siguió una trayectoria ascendente y rectilínea. El segundo proyectil entró por la zona del temporal, encima de la apófisis mastoides izquierda. El orificio que se asocia con la salida se encuentra en el parietal derecho, observándose un alto grado de fracturación en la zona. El proyectil siguió una trayectoria ascendente de izquierda a derecha (Lám. 60 y 61).

### **Patologías**

Se diagnostica el síndrome de Klippel- Feil de tipo II. Se trata de una enfermedad rara congénita que provoca la fusión de dos o más vértebras cervicales (Lám. 62 y 63). Frecuentemente es asintomática. En este caso se encuentran fusionados el axis y la tercera vértebra cervical. En la columna vertebral se diagnostican nódulos de Shmörll en las vértebras torácicas (63, 64, 65, 66 y 67), y en todas las lumbares, excepto en la quinta (Lám. 64). En ambos cúbitos es patente la inserción del músculo supinador, bastante más evidente en el derecho. En el carpo, el ganchoso izquierdo carece de apófisis unciforme, donde se ancla el ligamento carpiano transversal (Lám. 65). En el peroné derecho se diagnostica osteomielitis en la parte proximal. La osteomielitis es una infección del hueso por parte de una bacteria piogénica que afecta al tejido conjuntivo de la cavidad medular ósea. Se produce una inflamación supurativa, observándose un canal de drenaje (Lám. 66 y 67). Esta lesión en el tejido óseo normalmente es provocada por la existencia de heridas crónicas ocasionadas por una circulación deficiente.

### **Objetos personales asociados**

Se han recuperado dos botones de color blanco y otros tantos negros y metálicos (Lám. 52), así como varios enganches metálicos probablemente de trabillas o corchetes. Asimismo se ha conservado la parte de la espalda del chaleco (Lám. 55) y el cinturón de cuero con hebilla metálica (Lám. 54). Finalmente, también se ha documentado un fragmento de un lapicero (Lám. 53).



**Lám. 52.** Botones pertenecientes a la camisa y chaleco que portaba el Individuo 4.





**Lám. 53.** Fragmento de lapicero.



**Lám. 54.** Cinturón de cuero con hebilla metálica que llevaba puesto el Individuo 4.



**Lám. 55.** Parte de la espalda del chaleco que llevaba puesto el Individuo 4.

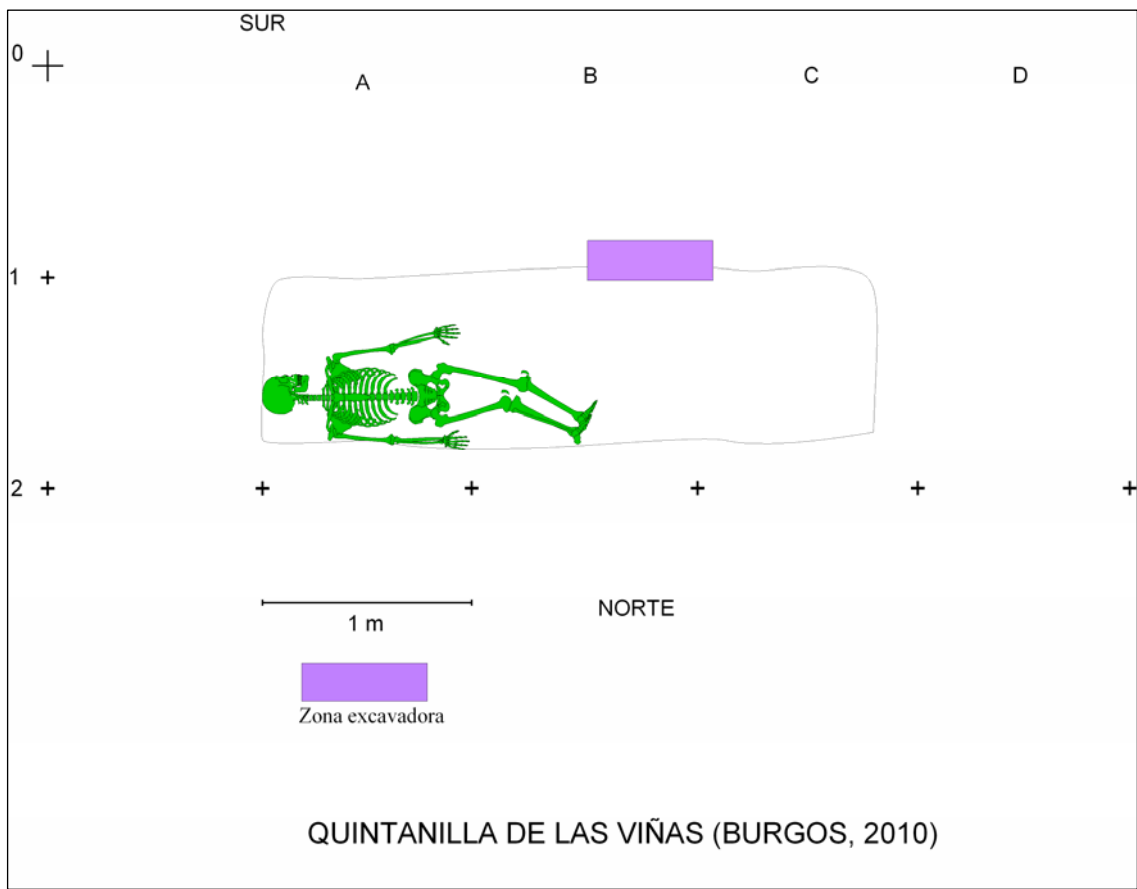
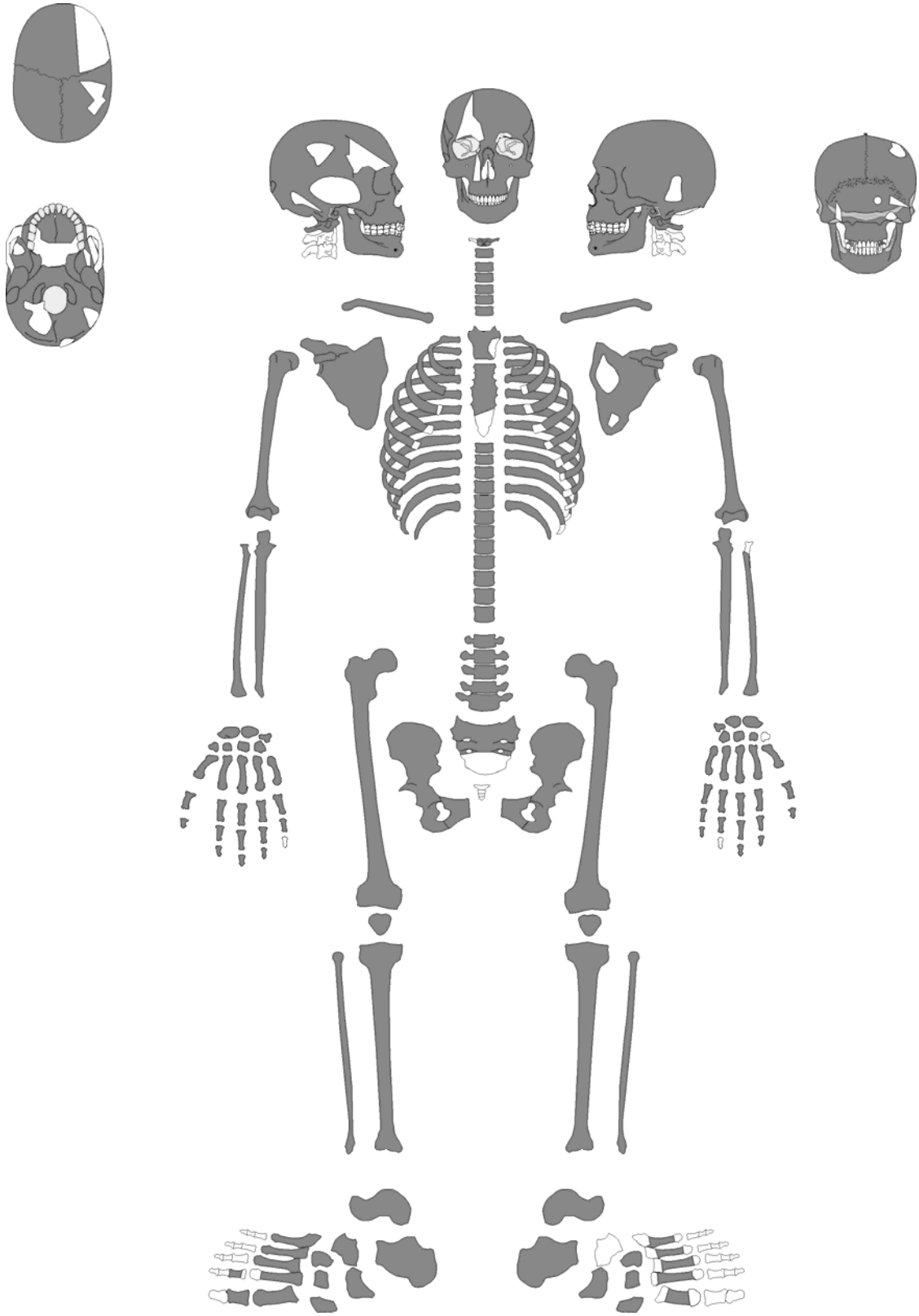


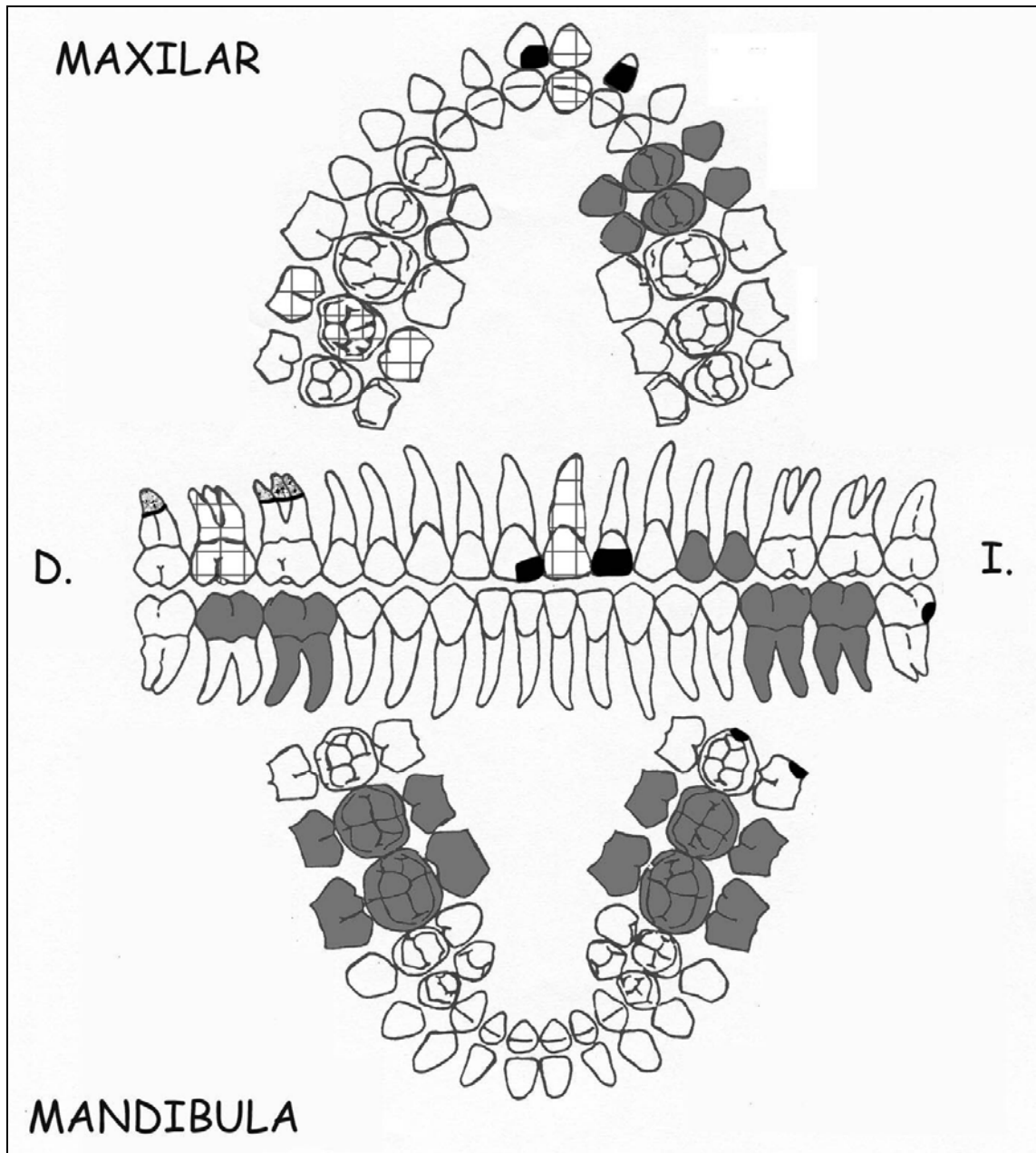
Fig. 7. Ubicación del Individuo 4 en la Fosa II.

# INDIVIDUO 4



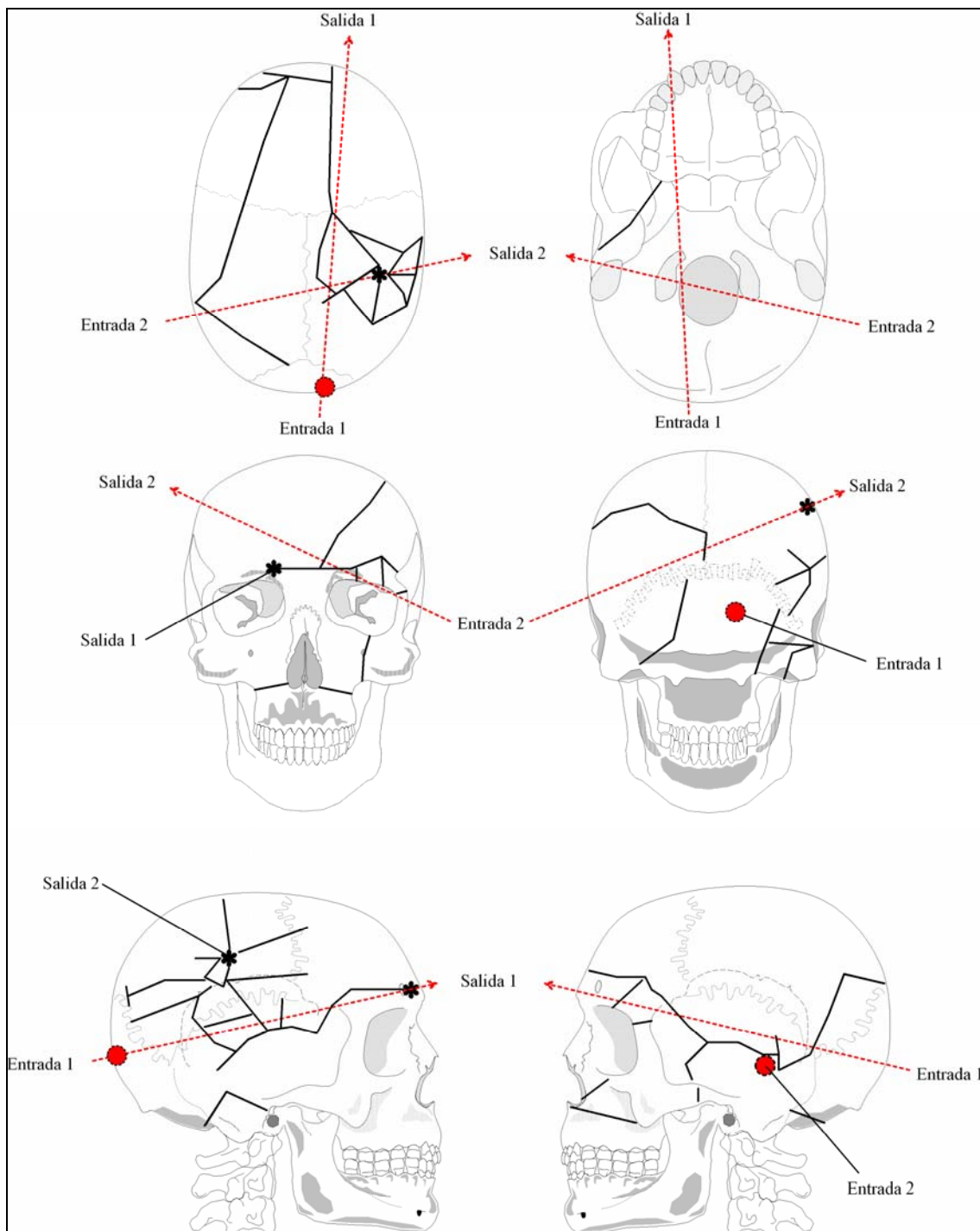
- Presente
- Ausente
- ▣ Presente muy deteriorado




# FICHA DENTAL



- Piezas presentes
- Piezas perdidas *ante mortem*
- Piezas perdidas *post mortem*
- Piezas perdidas *peri mortem*
- Piezas no erupcionadas
- Caries

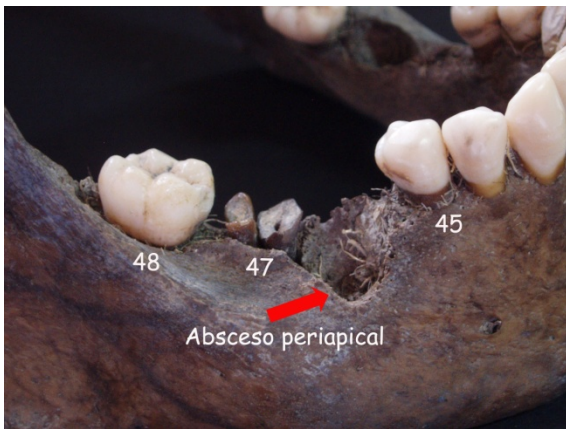
# IMPACTOS DE PROYECTIL



-  Entrada
-  Salida
-  Sin salida



**Lám. 56.** Molares perdidos en vida.



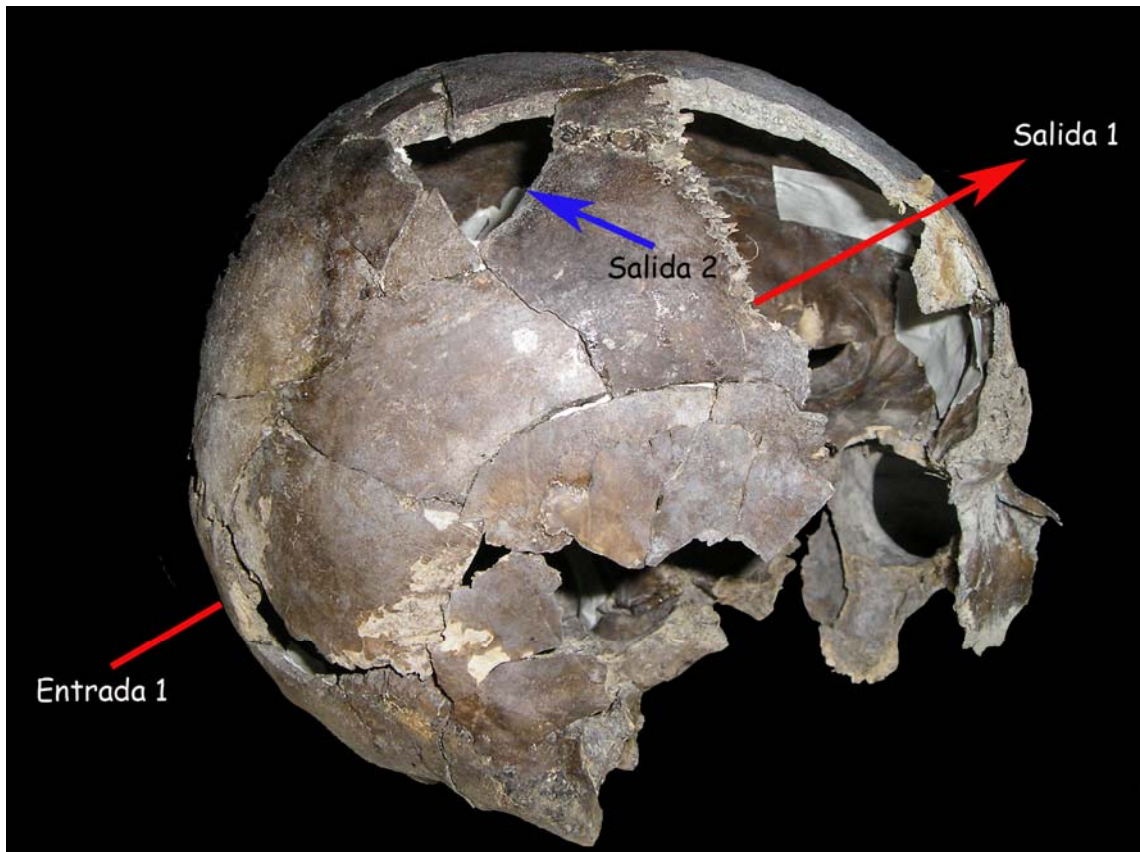
**Lám. 57.** La pieza 46 se perdió recientemente y es posible apreciar el alvéolo abierto. La pieza 47 está afectada por la caries, quedando reducida a la raíz.



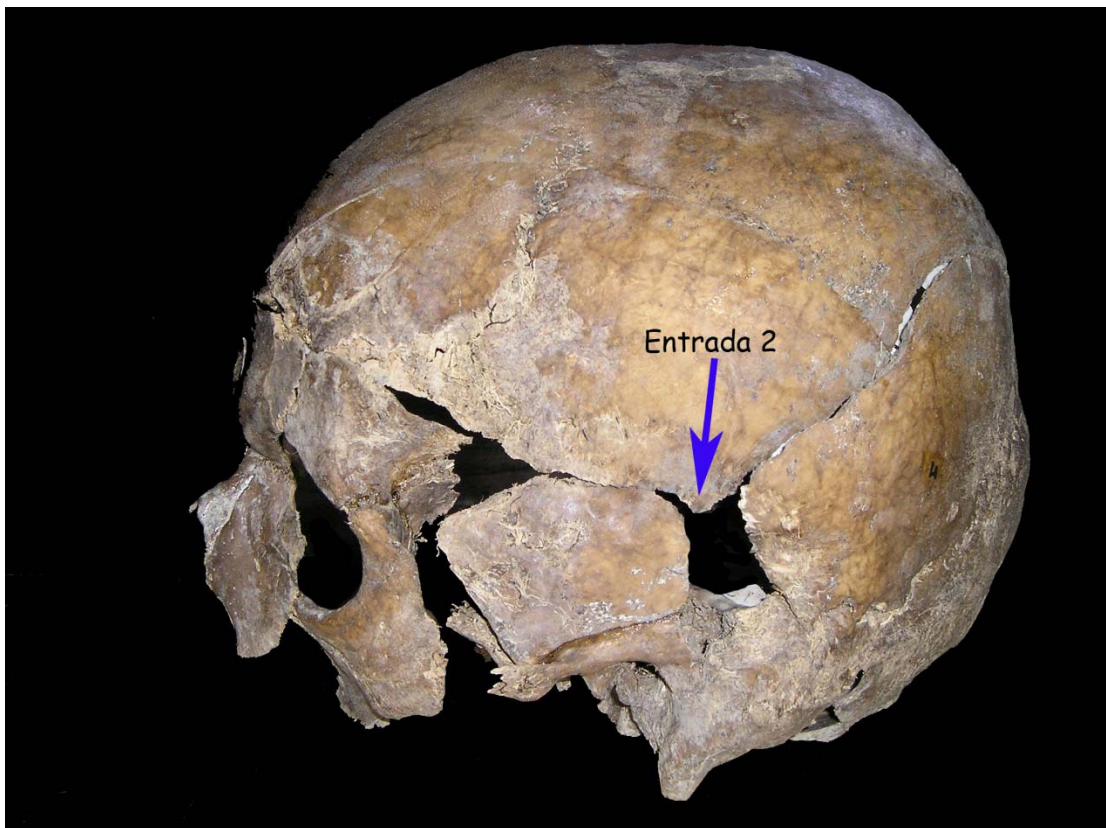
**Lám. 58.** En el maxilar las piezas presentes son pocas, pero es posible apreciar el poco desgaste que presentan. Hay varias piezas afectadas por la caries.

**Lám. 59.** Depósitos de sarro en la cara lingual de las piezas.





**Lám. 60.** Disparos que se efectuaron sobre el cráneo. El primero entró por el occipital y salió por el frontal. Del segundo impacto se observa la salida en el parietal. El grado de fragmentación es notable.



**Lám. 61.** Entrada del segundo proyectil, en el temporal, por encima de la apófisis mastoideas.



**Lám. 62 y 63.** Síndrome de Klippel-Feil. El axis y la tercera vértebra cervical se encuentran fusionados.



**Lám. 64.** Nódulo de Schmörl en el platillo vertebral de una vértebra lumbar.



**Lám. 65.** En el hueso ganchoso de la izquierda se aprecia la apófisis unciforme reducida.





**Lám. 66.** Tibia y peroné derechos. En la parte proximal del peroné se aprecia un engrosamiento óseo. Se trata de osteomielitis provocada probablemente por las heridas crónicas que sufría esta persona en la pierna.



**Lám. 67.** Se muestran ambos peronés, evidenciándose la lesión que presenta el peroné de la parte inferior.

## INDIVIDUO 5

### Descripción

Individuo en posición decúbito lateral sobre el lado derecho. Cabeza ladeada hacia sureste. Brazo derecho flexionado sobre sí mismo y antebrazo apoyado en el perfil. La mano derecha se encuentra junto a la cara. Brazo izquierdo flexionado sobre el tórax. Piernas estiradas y pies juntos. Se encontraba paralelo al Individuo 6.

### Aspectos antropológicos

Individuo varón adulto de 35-39 años y una estatura media estimada de 166-169 cm.

Longitud máxima fémur derecho: 451 mm  
Longitud máxima fémur izquierdo: 450 mm  
Diámetro cabeza femoral derecha: 42.3 mm  
Diámetro cabeza femoral izquierda: 43.6 mm  
Longitud máxima tibia derecha: 359 mm  
Longitud máxima tibia izquierda: 365 mm  
Longitud máxima húmero derecho: 325 mm  
Longitud máxima húmero izquierdo: 328 mm  
Longitud máxima radio derecho: 227 mm  
Longitud máxima cúbito derecho: 238 mm  
Longitud máxima cúbito izquierdo: 233 mm  
Longitud clavícula derecha: 142 mm  
Longitud clavícula izquierda: 152 mm

### Estudio dental

La pérdida de piezas *ante mortem* es notable. En el maxilar se perdieron las piezas 14, 16, 17, 18, 24, 26, 27 y 28 (Lám. 69). En la mandíbula la pérdida de piezas afecta a los molares (36, 37, 38, 46 y 47) (Lám. 70). El grado de desgaste que presenta la superficie oclusal es considerable.

### Lesiones del *peri mortem*

Las fracturas observadas en el cráneo se relacionan directamente con las que provocaría el impacto de un proyectil de arma de fuego. La ausencia de tejido óseo en la órbita izquierda se atribuye a la entrada del proyectil, que ocasionó la fractura del maxilar. La salida se encuentra en el parietal derecho, donde se aprecia parte de un orificio típico de salida asociado a un alto grado de fracturación en la zona (Lám. 71 y 72). El proyectil siguió una trayectoria ascendente de izquierda a derecha.

### Patologías

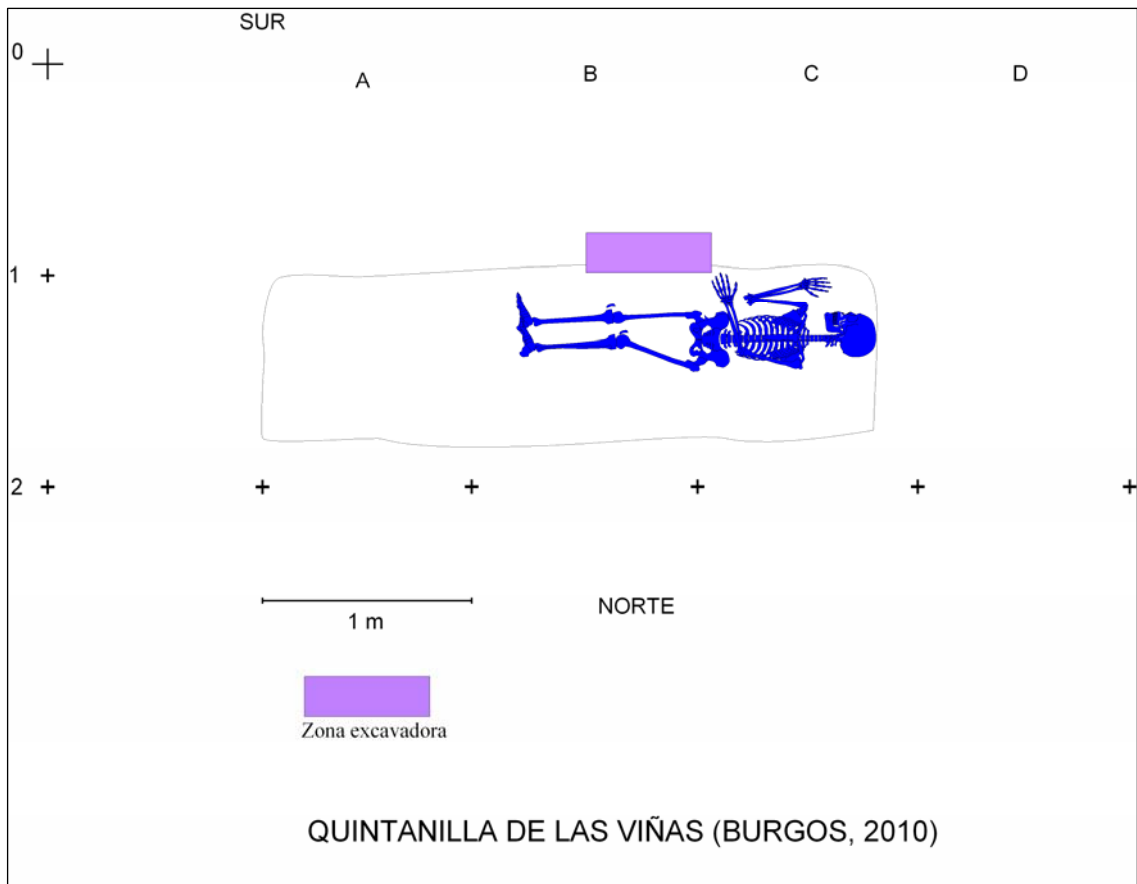
Se diagnostica degeneración articular en la mano derecha que compromete al extremo distal del radio, los huesos del carpo y al metacarpo del dedo II. El trapezoide se encuentra fusionado al metacarpo del dedo II (Lám. 73, 74, 75, 76 y 77). En la pierna derecha, en la articulación tibio-tarsal también se detecta degeneración articular. Tanto el extremo distal de la tibia como del peroné se encuentran afectados. El calcáneo y astrágalo presentan una evidente degeneración articular (Lám. 78, 79, 80 y 81). Las patologías diagnosticadas en la mano y en la pierna probablemente se produjeron en el mismo momento. El fémur derecho presenta un peso inferior al que tiene el fémur izquierdo, que se encuentra más desarrollado. Esta situación se relaciona con las lesiones sufridas en la pierna que probablemente impedirían a esta persona tener una movilidad total, no favoreciendo el uso normal de la pierna derecha, y provocando la pérdida de la musculatura en la extremidad.

### **Objetos personales asociados**

Se han recuperado, únicamente, dos botones negros (Lám. 68).

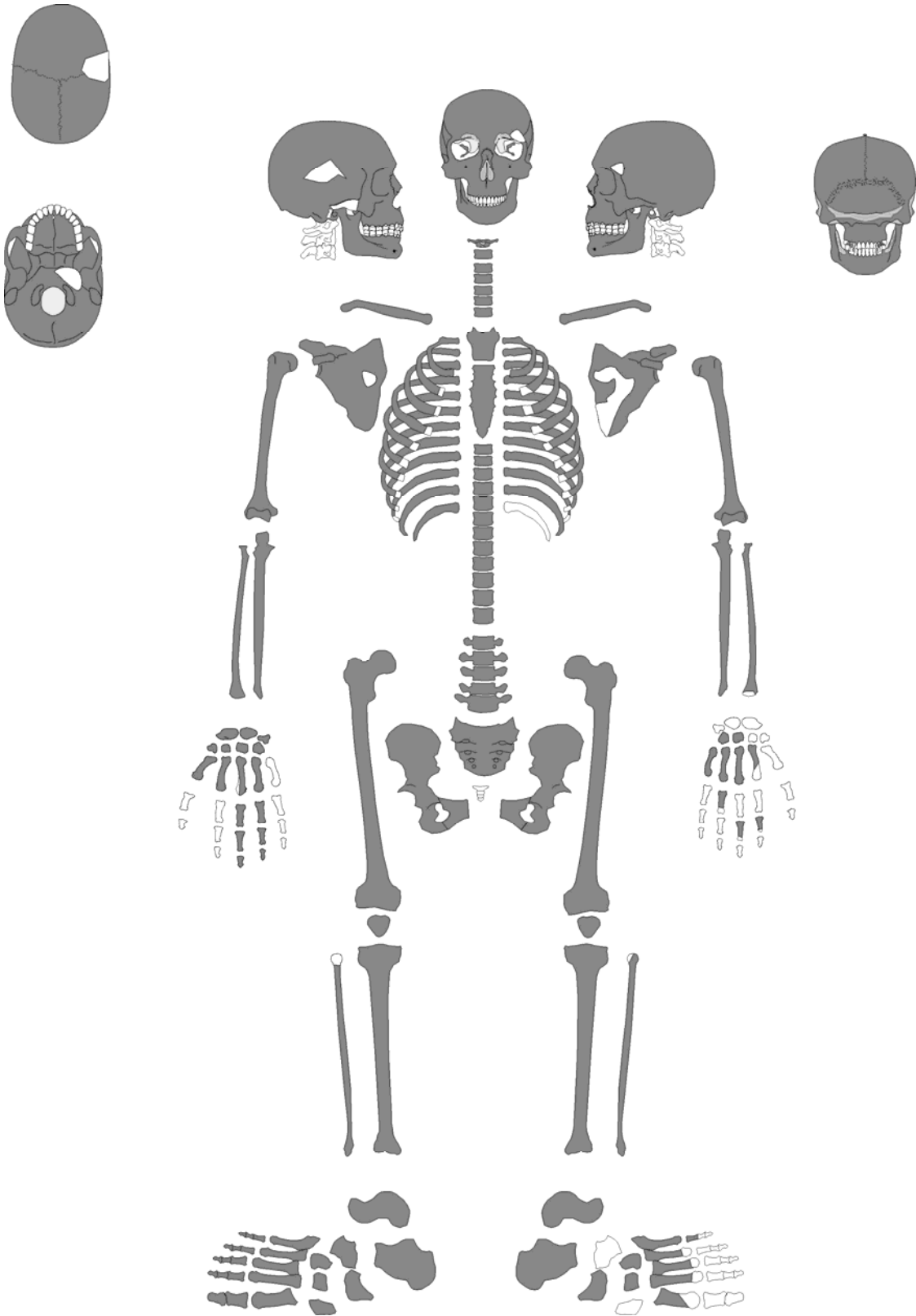


**Lám. 68.** Botones que portaba el Individuo 5.



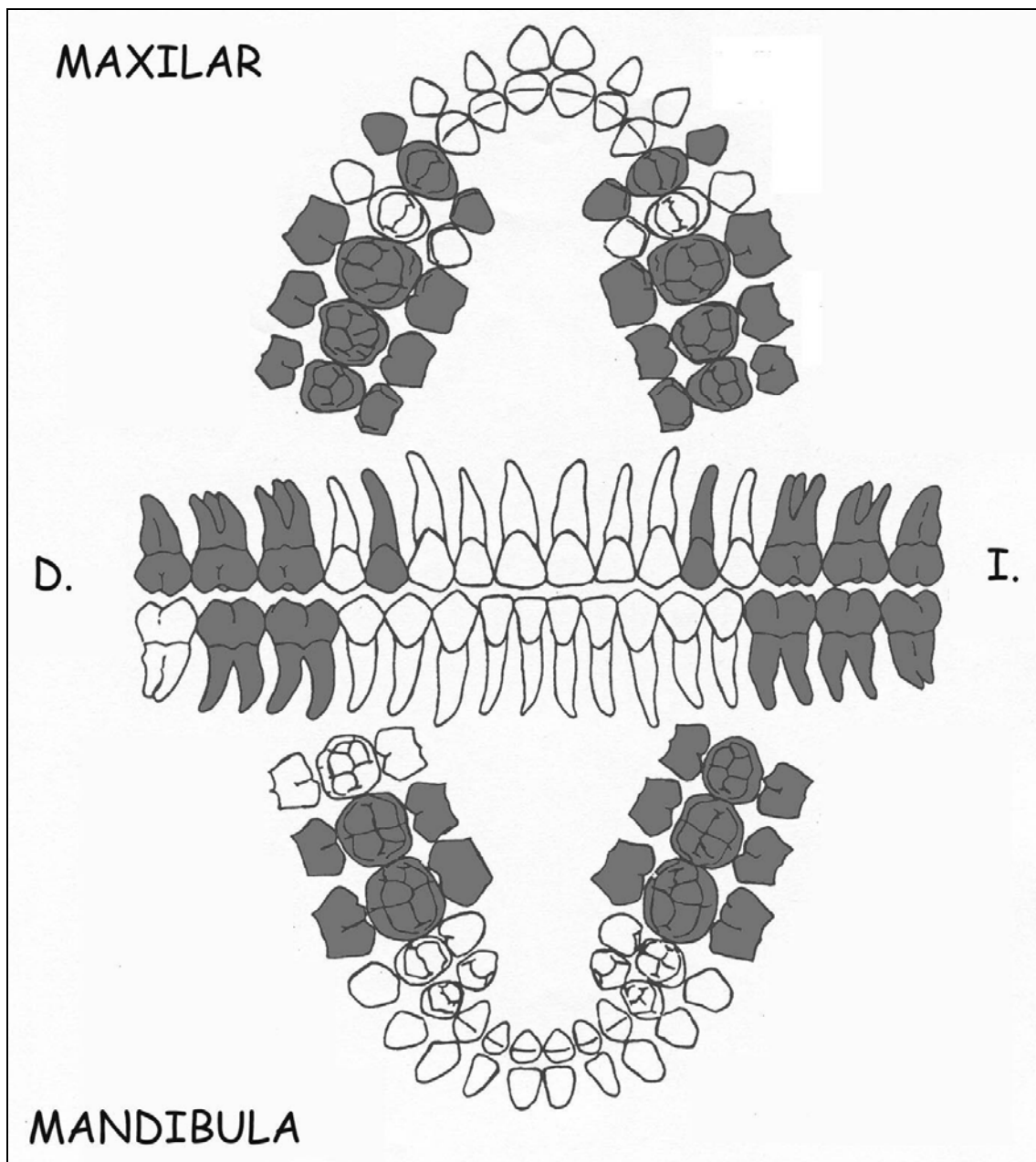
**Fig. 8.** Ubicación del Individuo 5 en la Fosa II.

# INDIVIDUO 5



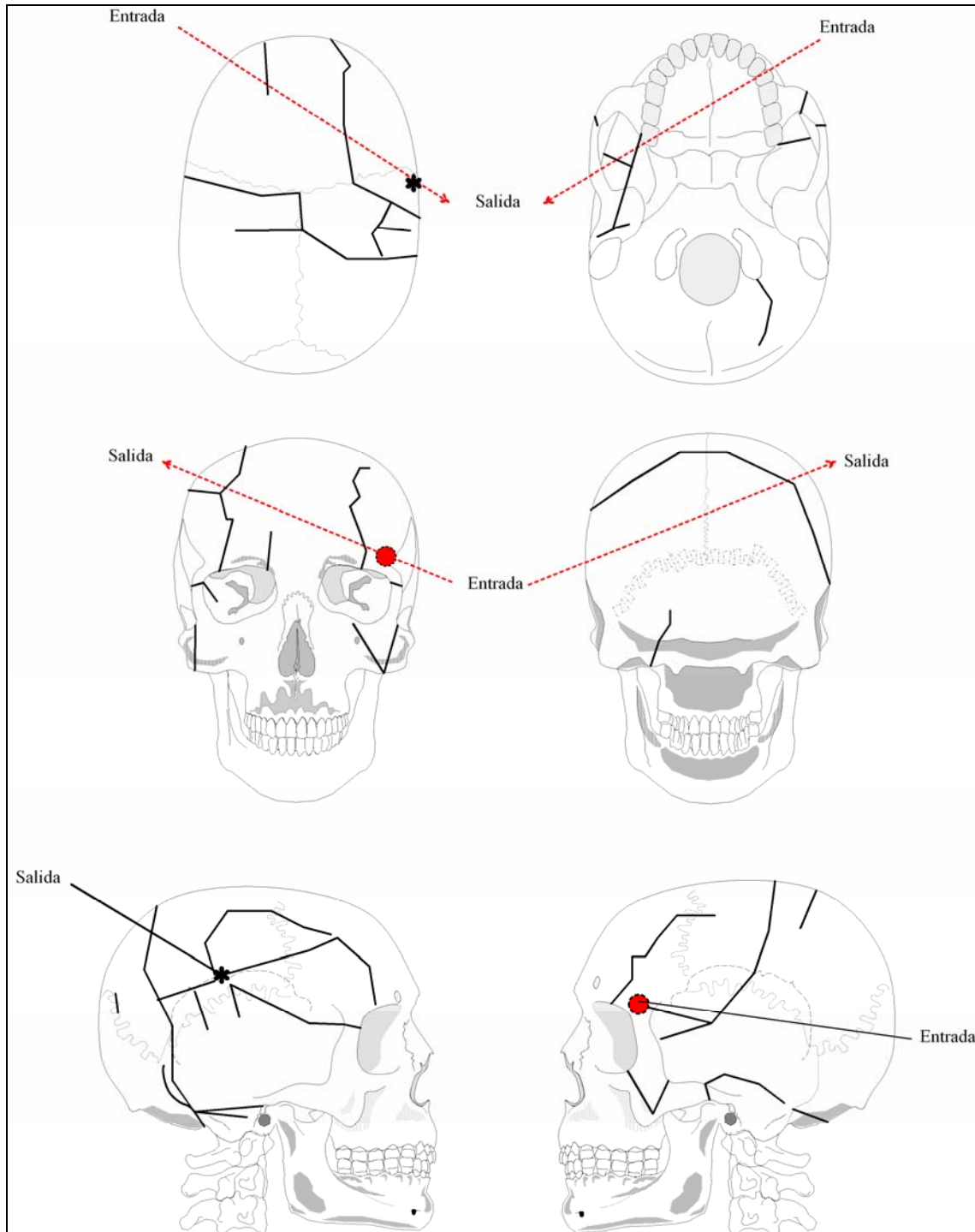
- Presente
- Ausente
- Presente muy deteriorado




# FICHA DENTAL



- Piezas presentes
- Piezas perdidas *ante mortem*
- Piezas perdidas *post mortem*
- Piezas perdidas *peri mortem*
- Piezas no erupcionadas
- Caries

# IMPACTOS DE PROYECTIL



-  Entrada
-  Salida
-  Sin salida



**Lám. 69.** Piezas presentes en el maxilar. Se observa el gran desgaste que presentan las piezas en la superficie y la pérdida en vida de molares y premolares.

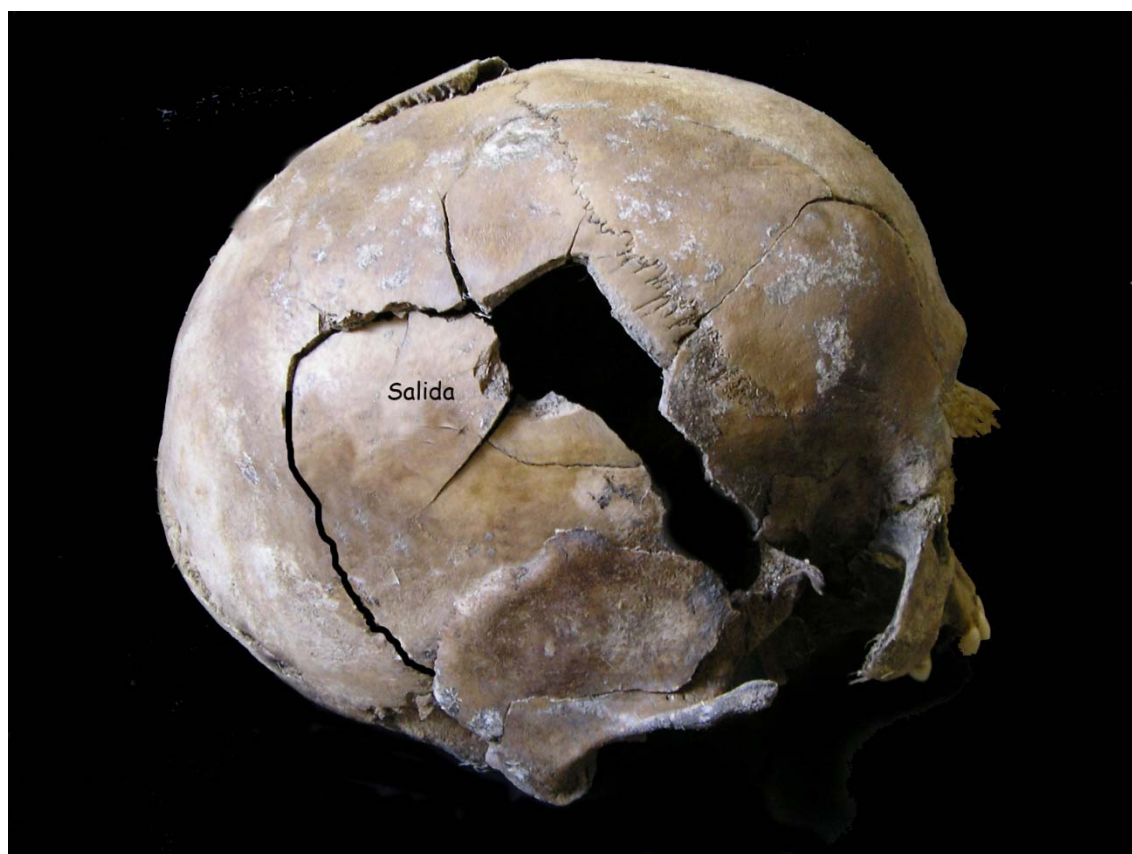


**Lám. 70.** Piezas presentes en la mandíbula. El desgaste también es notable, al igual que la pérdida de piezas en vida.





Lám. 71. Trayectoria que siguió el proyectil que impactó contra el cráneo.



Lám. 72. Se aprecia parte del orificio de salida del proyectil. Es evidente la ausencia de tabla externa, típica en la salida. La fracturación que provocó el proyectil es patente.



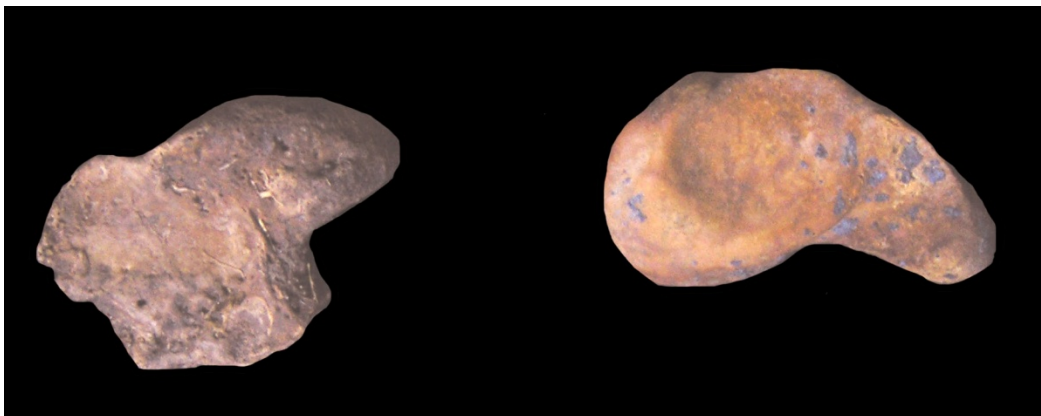
**Lám. 73.** La superficie articular del radio que se encuentra en la parte izquierda presenta una notable degeneración.



**Lám. 74.** Detalle de la superficie articular del radio derecho.



**Lám. 75.** En el extremo distal del radio derecho es evidente la lesión degenerativa sufrida.



Lám. 76. A la izquierda se muestra el escafoides derecho que sufre una evidente degeneración.



Lám. 77. Trapezoide fusionado con el Metacarpo del dedo II.



Lám. 78. La tibia derecha se muestra en la parte inferior. Se aprecia en el extremo distal un engrosamiento correspondiente a la lesión degenerativa sufrida.



**Lám. 79.** Detalle del extremo distal de la tibia derecha.



**Lám. 80.** En la parte superior se aprecia el peroné derecho donde es posible observar el extremo distal que presenta un engrosamiento anormal.



**Lám. 81.** Calcáneo y astrágalo derechos con una evidente degeneración articular.

## INDIVIDUO 6

### Descripción

Individuo en posición decúbito lateral apoyado sobre el lado derecho. Cabeza orientada hacia sureste. Apoyado en el perfil. Brazo izquierdo estirado, mano sobre la pelvis. Brazo derecho flexionado sobre sí mismo. Piernas ligeramente flexionadas y pies juntos.

### Aspectos antropológicos

Individuo varón adulto joven de 17-25 años y una estatura media de 166-169 cm. El estado de conservación en el que se encuentran los restos óseos no es bueno, debido a la degradación provocada por la acción conjunta de la naturaleza arcillosa del terreno, del agua existente en el subsuelo y la materia vegetal. Todos estos elementos han provocado la destrucción de las epífisis de los huesos largos y que el tejido óseo se desintegre y se destruya casi completamente (Lám. 86).

Longitud máxima fémur derecho: 453 mm  
Longitud máxima fémur izquierdo: 447 mm  
Diámetro cabeza femoral derecha: 43.6 mm  
Diámetro cabeza femoral izquierda: 43 mm  
Longitud máxima tibia derecha: 354 mm  
Longitud máxima húmero derecho: 316 mm  
Longitud máxima húmero izquierdo: 314 mm  
Longitud máxima radio derecho: 248 mm  
Longitud máxima cúbito derecho: 250 mm  
Longitud clavícula derecha: 148 mm  
Longitud clavícula izquierda: 155 mm.

### Estudio dental

La pérdida de piezas en vida se reduce a los molares 26, 27, 46 y 47. Las piezas 26 y 46 se perdieron en un momento anterior puesto que los alvéolos se encuentran reabsorbidos, no siendo el mismo caso en las piezas 27 y 47 donde se aprecia el alvéolo abierto (Lám. 87, 88 y 89). Se observan depósitos de sarro en la cara lingual de las piezas dentales. El desgaste en la cara oclusal es más acusado en la parte izquierda probablemente debido a la ausencia de los dos molares derechos, obligándole a masticar por este lado. Los incisivos presentan una forma característica, en pala. La pieza 38 se encuentra en erupción. Por la coloración observada en las piezas esta persona probablemente tenía el hábito de fumar.

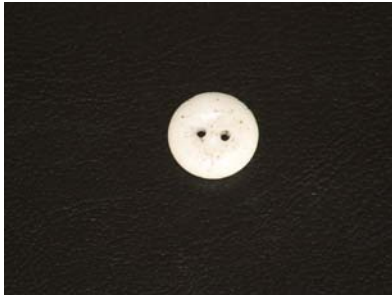
### Lesiones del *peri mortem*

En el cráneo se detecta ausencia ósea en el temporal derecho con fracturación en la zona cercana asociándose al impacto de un proyectil de arma de fuego que impactó

no ocasionando salida (Lám. 90). La cuarta costilla derecha se encuentra fracturada *peri mortem*.

### Objetos personales asociados

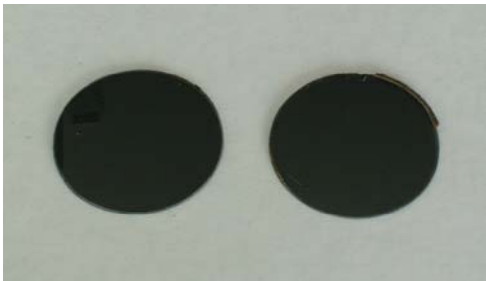
Se han recuperado un botón (Lám. 82), la hebilla de un cinturón (Lám. 83), dos cristales de gafas oscuros que portaba la víctima a la altura del tórax (Lám. 84) y las suelas de goma de unas alpargatas del número 40 de la marca Codina (Lám. 85).



Lám. 82. Botón de camisa.



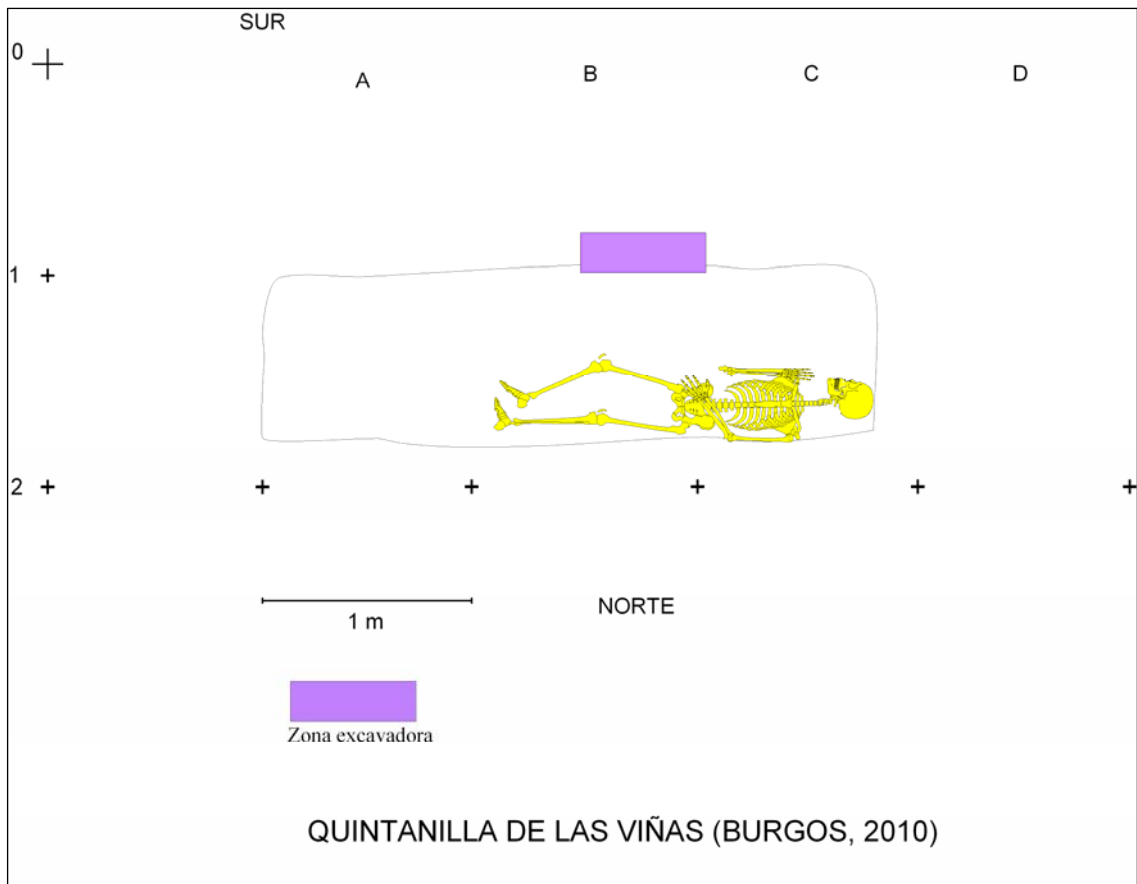
Lám. 83. Hebilla metálica con parte del cinturón de cuero adherido.



Lám. 84. Cristales de gafas.

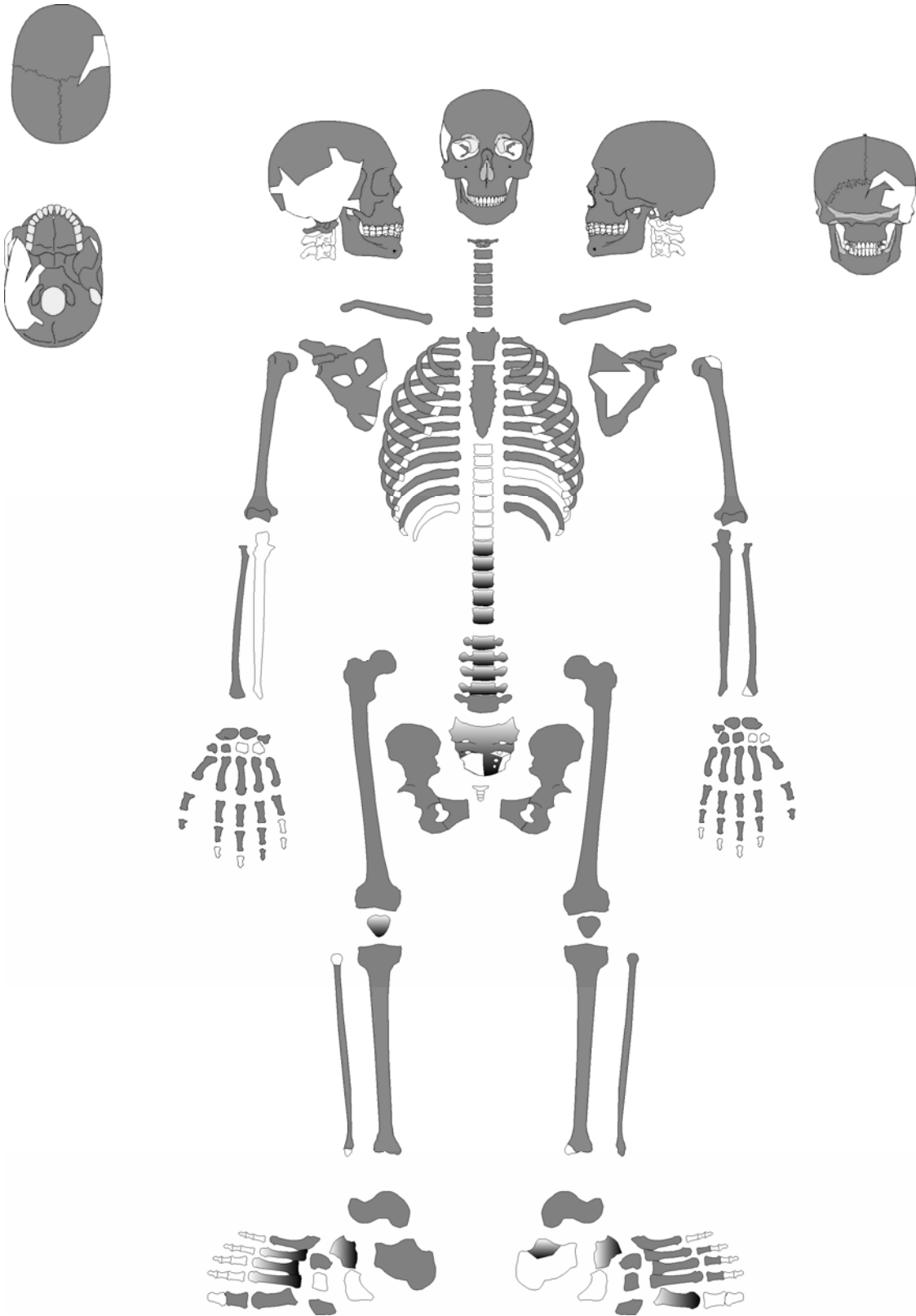


Lám. 85. Suelas de goma de las alpargatas que calzaba el Ind. 6.



**Fig. 9.** Ubicación del Individuo 6 en la Fosa II.

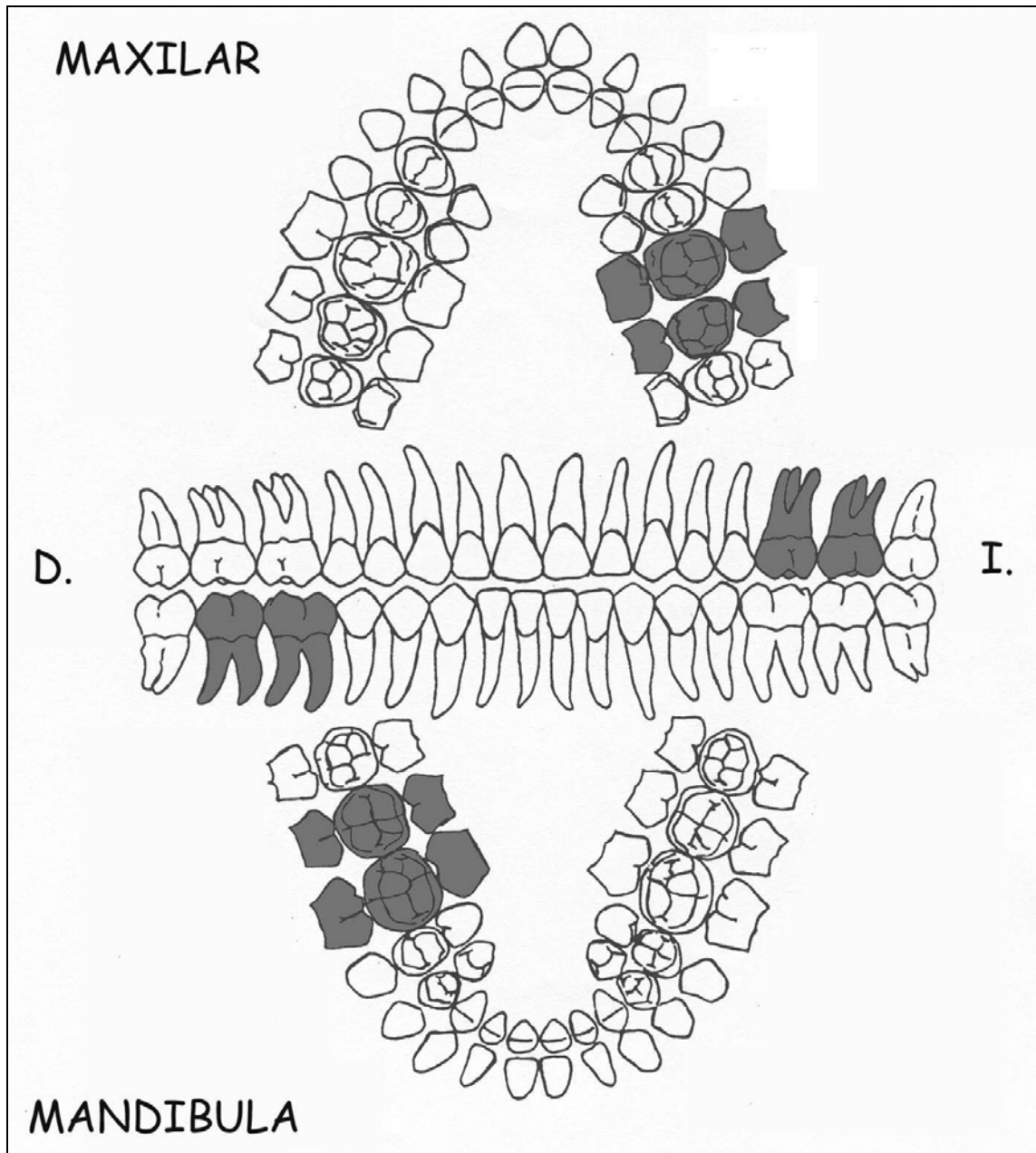
# INDIVIDUO 6



- Presente
- Ausente
- Presente muy deteriorado

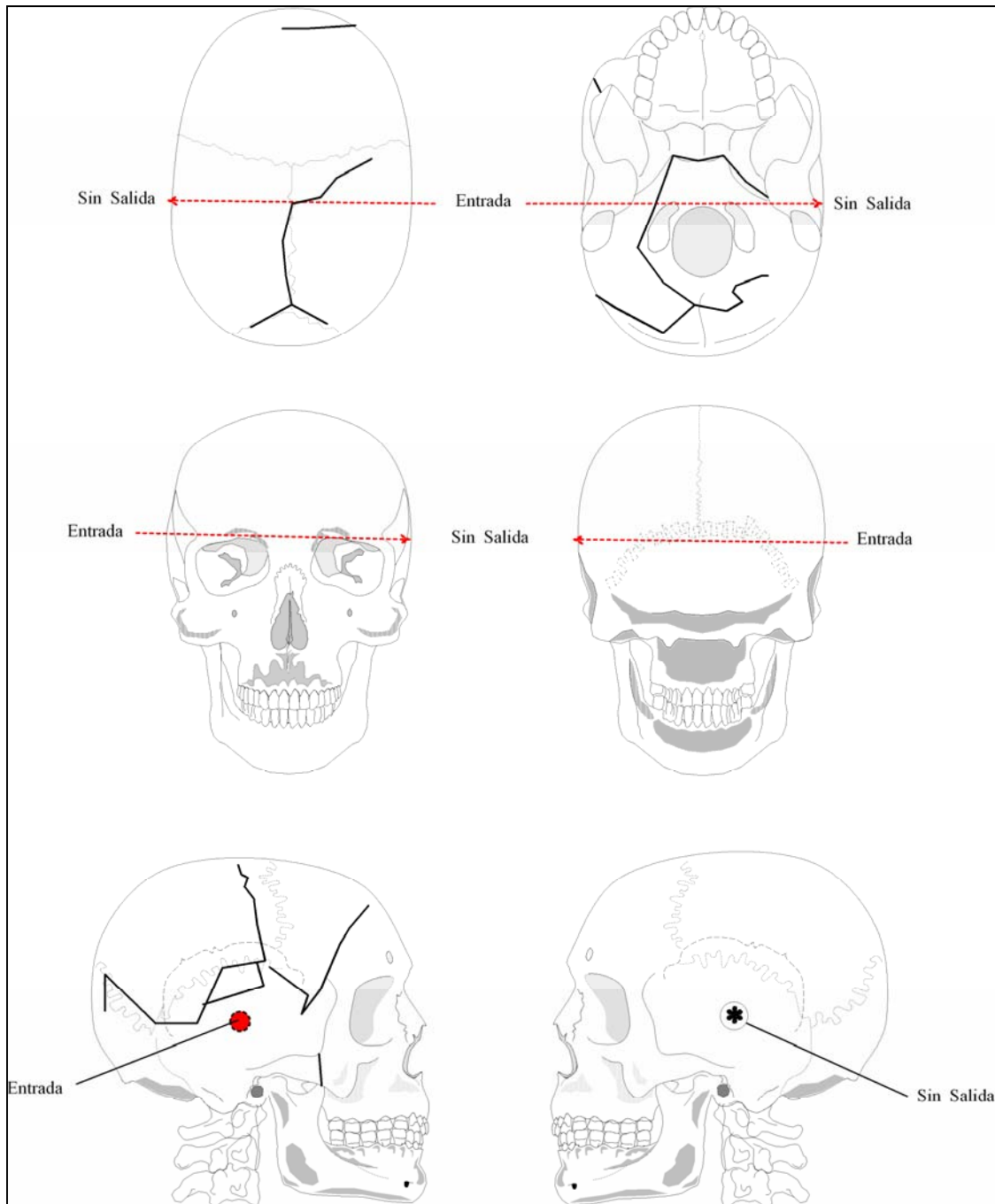





# FICHA DENTAL



- Piezas presentes
- Piezas perdidas *ante mortem*
- Piezas perdidas *post mortem*
- Piezas perdidas *peri mortem*
- Piezas no erupcionadas
- Caries

# IMPACTOS DE PROYECTIL



-  Entrada
-  Salida
-  Sin salida



**Lám. 86.** Estado de conservación que presentaban diferentes partes anatómicas.



**Lám. 87.** Piezas presentes en el maxilar. Obsérvese el poco desgaste que sufren las piezas, así como los dos molares que se perdieron en vida.



**Lám. 88.** En vida, en la mandíbula, se perdieron dos molares derechos. Nótese la coloración que exhibe la cara lingual de las piezas, lo que indica el probable hábito de fumar que tenía esta persona.



**Lám. 89.** Son notables los depósitos de sarro en los molares probablemente a consecuencia de la pérdida de los dos molares inferiores.



**Lám. 90.** Ausencia ósea en el temporal derecho. Probablemente esta zona sufrió el impacto de un proyectil de arma de fuego, si bien no ocasionó, en su trayectoria, salida alguna, pues quedó alojado dentro del cráneo.

## B.- Caracterización antropológica

DATOS ANTROPOLÓGICOS			
Individuo	Edad	Estatura	Observaciones
1	35-39 años	169-172 cm	Piezas con fundas de oro y coronas de porcelana tipo Steele. Un impacto en cráneo.
2	24-28 años	161-163 cm	Dos impactos en el cráneo. Húmero con ausencia de epitroclea. Peroné derecho con curvatura anormal.
3	45-50 años	153-156 cm	Dos impactos en el cráneo. Artrosis. Nódulos de Schmörl en vértebras.
4	27-30 años	162-166 cm	Dos impactos en el cráneo. Diestro. Síndrome de Klippel-Feil. Nódulos de Schmörl. Osteomielitis en peroné derecho. Ganchoso sin apófisis unciforme. Impresión del músculo supinador en ambos cúbitos.
5	35-39 años	166-169 cm	Un impacto en el cráneo. Lesión en muñeca y pierna derechos.
6	17-25 años	166-169 cm	Un impacto en el cráneo, sin salida. 4 <sup>a</sup> costilla derecha fracturada <i>peri mortem</i> . Posiblemente fumador.

**Tabla 2.** Caracteres antropológicos de los individuos inhumados en la fosa.

## C.- Conclusiones del análisis antropológico y patológico

1. Se han exhumado los restos esqueléticos de seis individuos varones distribuidos en dos fosas: una individual que contenía los restos del Individuo 1 y otra con los cinco restantes correspondientes a los Individuos 2, 3, 4, 5 y 6. Todos los individuos son adultos. Los rangos de edad estimados son diversos. El más joven tiene 17-25 años y el más maduro 45-50. La mayoría de los individuos tienen una estatura media, si bien destaca el de mayor edad por tener la estatura más baja (Tabla 2).

2. Se han constatado signos de muerte violenta. Las lesiones diagnosticadas son compatibles con las causadas por arma de fuego. Se han contabilizado 9 impactos de proyectil contra el cráneo. Se ha detectado una fractura *peri mortem* en una parte anatómica. Se recuperaron únicamente tres proyectiles, ubicados junto a los restos esqueléticos de los Individuos 3, 5 y 6.
  
3. Las patologías diagnosticadas en algunos casos tienen relación con la madurez de la persona como la degeneración articular y en otros casos son bastante características y decisivas para la identificación de la persona como en los casos de los individuos 1, 4 y 5 (Tabla 2).

#### D.- Propuesta de identificación

IDENTIFICACIONES PRESUNTIVAS					
DATOS DEL ANÁLISIS ANTROPOLÓGICO			DATOS ANTE MORTEM FACILITADOS POR FAMILIARES		
Resto esquelético	Edad estimada	Estatura estimada	Identidad	Edad	Estatura estimada
Individuo 1	35-39 años	169-172 cm	Julián Santamaría Carretero	41 años	162 cm
Individuo 2	24-28 años	161-163 cm	Saturio Gómez Ibáñez	28 años	160-170 cm
Individuo 3	45-50 años	153-156 cm	Lázaro Esteban García	47 años	<160 cm
Individuo 4	27-30 años	162-166 cm	Nicolás Rubio Salas	28 años	160 cm
Individuo 5	35-39 años	166-169 cm	Ponciano Salas Esteban	36 años	170-175 cm
Individuo 6	17-25 años	166-169 cm	Arturo Rubio Salas	23 años	166 cm

**Tabla 3.** Identificaciones presuntivas de los Individuos inhumados en la fosa.

1. Los datos antropológicos observados en los Individuos 1, 2, 3, 4, 5 y 6 tras el análisis de los restos óseos son compatibles con los datos personales aportados por los familiares, así como por los recabados por los investigadores de la Coordinadora Provincial por la Recuperación de la Memoria Histórica de Burgos, sobre la identidad de Julián Santamaría Carretero, Saturio Gómez Ibáñez, Lázaro Esteban García, Nicolás Rubio Salas, Ponciano Salas Esteban y Arturo Rubio Salas, respectivamente (Tabla 3).
2. Una vez realizado el estudio osteológico y contrastados los resultados obtenidos con los datos aportados por los testimonios orales, se descarta la realización de análisis genéticos, dado que existe una probabilidad muy alta de que la identificación presuntiva de todos y cada uno de los individuos exhumados en las fosas del paraje de La Granja en Quintanilla de las Viñas sea la asignada en la Tabla 3.

### 3.- DATOS DE LAS PERSONAS DESAPARECIDAS QUE YACÍAN EN LA FOSA

#### 3.1.- Personas cuyos restos han sido identificados y grado de certeza

- Víctima nº 1: Restos esqueléticos del Individuo 1

*Nombre y apellidos:* JULIÁN SANTAMARÍA CARRETERO

*Sexo:* Varón

*Edad:* 41 años

*Fecha y lugar de nacimiento:* 16/08/1895, Castrillo de la Reina (Burgos)

*Lugar de residencia:* Castrillo de la Reina (Burgos)

*Profesión:* Alcalde de Castrillo de la Reina

*Estado civil:* Soltero

*Fecha y lugar de la desaparición:* septiembre de 1936 en Castrillo de la Reina

*Lugar de encarcelamiento:* Salas de los Infantes (Burgos)

*Autores de la desaparición:* Guardia Civil

La identificación de Julián Santamaría Carretero como el esqueleto del Individuo 1 se ha realizado sobre la base de la documentación aportada por sus familiares y por el correspondiente análisis osteológico. Conviene subrayar que poseía una dentadura con piezas recubiertas con fundas de oro, tal y como informaron sus familiares. Asimismo, portaba un cinturón en cuya hebilla llevaba inscrita la letra 'J' en posible alusión a su nombre. Por otro lado, a través del análisis antropológico se ha podido establecer que la muerte se produjo por arma de fuego.



Lám. 91. Fotografía de Julián Santamaría Carretero.



- Víctima nº 2: Restos esqueléticos del Individuo 2

*Nombre y apellidos*: SATURIO GÓMEZ IBÁÑEZ

*Sexo*: Varón

*Edad*: 28 años

*Fecha y lugar de nacimiento*: 02/10/1907, Castrillo de la Reina (Burgos)

*Lugar de residencia*: Castrillo de la Reina (Burgos)

*Profesión*: Labrador y secretario de la Casa del Pueblo de Castrillo de la Reina

*Estado civil*: Soltero

*Fecha y lugar de la desaparición*: septiembre de 1936 en Castrillo de la Reina

*Lugar de encarcelamiento*: Salas de los Infantes (Burgos)

*Autores de la desaparición*: Guardia Civil

La identificación de Saturio Gómez Ibáñez como el esqueleto del Individuo 2 se ha realizado sobre la base de la documentación aportada por sus familiares y por el correspondiente análisis osteológico. Asimismo, a través del análisis antropológico se ha podido establecer que la muerte se produjo por arma de fuego.

- Víctima nº 3: Restos esqueléticos del Individuo 3

*Nombre y apellidos*: LÁZARO ESTEBAN GARCÍA

*Sexo*: Varón

*Edad*: 47 años

*Fecha y lugar de nacimiento*: 17/12/1888, Monasterio de la Sierra (Burgos)

*Lugar de residencia*: Castrillo de la Reina (Burgos)

*Profesión*: Dulzainero

*Estado civil*: Casado

*Fecha y lugar de la desaparición*: Septiembre de 1936 en Castrillo de la Reina

*Lugar de encarcelamiento*: Salas de los Infantes (Burgos)

*Autores de la desaparición*: Guardia Civil

La identificación de Lázaro Esteban García como el esqueleto del Individuo 3 se ha realizado sobre la base de la documentación aportada por sus familiares y por el correspondiente análisis osteológico. En este sentido, ha resultado determinante que se trataba de la persona de mayor edad (47 años), así como el hecho de tener una estatura muy baja (153-156 cm); de ahí el apelativo con el que se le conocía: 'El Castrillín'. Por otro lado, a través del análisis antropológico se ha podido establecer que la muerte se produjo por arma de fuego.



**Lám. 92.** Fotografía de Lázaro Esteban García junto a otros músicos (es el más bajo de todos).

- Víctima nº 4: Restos esqueléticos del Individuo 4

*Nombre y apellidos*: NICOLÁS RUBIO SALAS

*Sexo*: Varón

*Edad*: 28 años

*Fecha y lugar de nacimiento*: 10/09/1907, Castrillo de la Reina (Burgos)

*Lugar de residencia*: Castrillo de la Reina (Burgos)

*Profesión*: Cantero y concejal del Ayuntamiento de Castrillo de la Reina

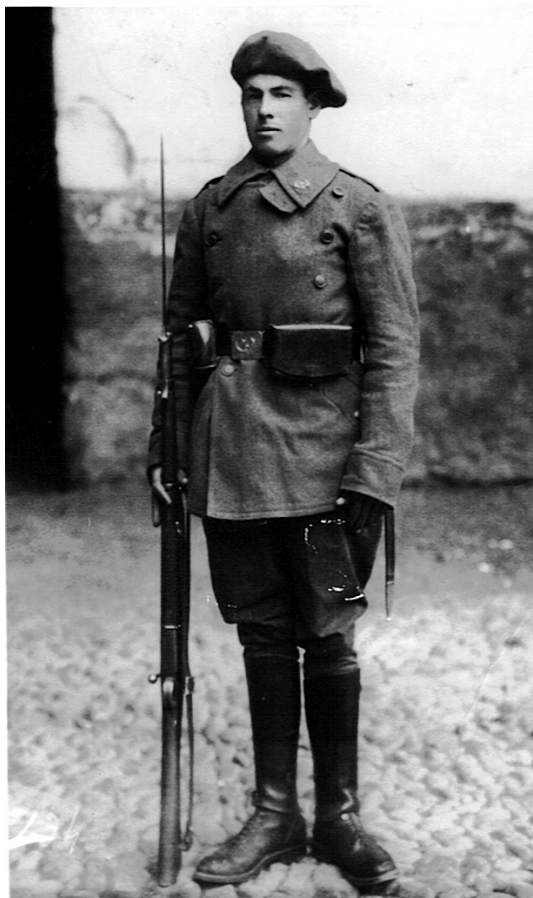
*Estado civil*: casado

*Fecha y lugar de la desaparición*: septiembre de 1936 en Castrillo de la Reina

*Lugar de encarcelamiento*: Salas de los Infantes (Burgos)

*Autores de la desaparición*: Guardia Civil

La identificación de Nicolás Rubio Salas como el esqueleto del Individuo 4 se ha realizado sobre la base de la documentación aportada por sus familiares y por el correspondiente análisis osteológico que ha determinado que tuvo osteomielitis en el peroné derecho, lo cual es compatible con la lesión crónica en la pierna derecha que apuntan sus familiares que padeció. Este hecho ayuda a discriminarle de los restos esqueléticos del Individuo 2, pues tenía la misma edad (28 años). Por otro lado, a través del análisis antropológico se ha podido establecer que la muerte se produjo por arma de fuego.



**Lám. 93.** Fotografía de Nicolás Rubio Salas tomada durante el servicio militar.

- Víctima nº 5: Restos esqueléticos del Individuo 5

*Nombre y apellidos*: PONCIANO SALAS ESTEBAN

*Sexo*: Varón

*Edad*: 36 años

*Fecha y lugar de nacimiento*: 19/11/1899, Castrillo de la Reina (Burgos)

*Profesión*: Labrador

*Lugar de residencia*: Castrillo de la Reina (Burgos)

*Estado civil*: Viudo

*Fecha y lugar de la desaparición*: septiembre de 1936 en Castrillo de la Reina

*Lugar de encarcelamiento*: Salas de los Infantes (Burgos)

*Autores de la desaparición*: Guardia Civil

La identificación de Ponciano Salas Esteban como el esqueleto del Individuo 5 se ha realizado sobre la base de la documentación aportada por sus familiares y por el correspondiente análisis osteológico que ha determinado que tuvo una lesión articular en la muñeca derecha y en el tobillo derecho, lo cual es compatible con los datos aportados por los familiares que apuntan que sufrió un accidente de trabajo que le provocó una cojera. Por otro lado, a través del análisis antropológico se ha podido establecer que la muerte se produjo por arma de fuego.

- Víctima nº 6: Restos esqueléticos del Individuo 6

*Nombre y apellidos*: ARTURO RUBIO SALAS

*Sexo*: Varón

*Edad*: 23 años

*Fecha y lugar de nacimiento*: 21/10/1912, Castrillo de la Reina (Burgos)

*Profesión*: Cantero

*Lugar de residencia*: Castrillo de la Reina (Burgos)

*Estado civil*: casado

*Fecha y lugar de la desaparición*: septiembre de 1936 en Castrillo de la Reina

*Lugar de encarcelamiento*: Salas de los Infantes (Burgos)

*Autores de la desaparición*: Guardia Civil

La identificación de Arturo Rubio Salas como el esqueleto del Individuo 6 se ha realizado sobre la base de la documentación aportada por sus familiares y por el correspondiente análisis osteológico. En este sentido, ha resultado determinante que se trataba de la persona de más joven (23 años). Por otro lado, a través del análisis antropológico se ha podido establecer que la muerte se produjo por arma de fuego.



**Lám. 94.** Fotografía de Arturo Rubio Salas tomada durante el servicio militar.

### **1.- Material**

La recogida de muestras se ha realizado durante el proceso de exhumación. En total se han hallado tres proyectiles junto a los restos esqueléticos de los Individuos 3, 5 y 6 (Lám. 95). Todos son del calibre 9 mm largo de fabricación española (munición de 9x23 Bermang); fueron detonadas por una pistola. Presentan la composición de núcleo de plomo y camisa de latón, con alto contenido de cobre. Presentan ligerísimas deformaciones en la parte frontal, lo cual hace sospechar que tal vez no impactaron en materia ósea y fueron tiros limpios.



**Lám. 95.** Proyectiles de 9 mm largo recuperados en la exhumación.

Para que conste a efectos oportunos, el presente Informe Técnico ha sido redactado en Burgos con fecha 3 de junio de 2011,

Fdo.: Juan Montero Gutiérrez  
-arqueólogo-

Fdo.: Encarna Valdivielso Gutiérrez  
-antropóloga-

## BIBLIOGRAFÍA

- ALONSO ALONSO, A. (2006): La identificación genética de las víctimas de la Guerra Civil española. *La represión franquista: mito, olvido y memoria*. Valladolid: Universidad de Valladolid, 183-193.
- AUFDERHEIDE, A.; RODRÍGUEZ-MARTÍN, C. (1998): *The Cambridge Encyclopedia of Human Paleopathology*. Cambridge: Cambridge University Press.
- BASS, W.M. (1986): *Human Osteology. A Laboratory and Field Manual of Human Skeleton*. Columbia: Missouri Archaeological Society.
- BROTHWELL, D.R. (1987): *Desenterrando huesos. La excavación, tratamiento y estudio de restos del esqueleto humano*. Madrid: Fondo de Cultura Económica.
- BUIKSTRA, J.E.; UBELAKER, D.H. (EDS) (1994): *Standards for Data Collection from Human Skeletal Remains*. Fayetteville: Arkansas Archaeological Survey Research Series 44.
- BURNS, K.R. (1999): *Forensic Anthropology Training Manual*. Upper Saddle River: Prentice Hall.
- CAMPILLO I VALERO, D. (2001): *Introducción a la paleopatología*. Barcelona: Bellaterra.
- CAMPILLO I VALERO, D.; SUBIRÀ I DE GALDÁCANO, M.E. (2004): *Antropología física para arqueólogos*. Barcelona: Ariel.
- CERNÝ, M. (1983): Our Experience with Estimation of an Individuals Age from Skeletal Remains of the Degree of Thyroid Cartilage Ossification. *Acta Universitatis Palackianae Olomucensis* 3: 121-144.
- COX, M.; FLAVEL, A.; HANSON, I.; LAVER, J.; WESSLING, R. (2007): *The Scientific Investigation of Mass Graves. Towards Protocols and Standard Operating Procedures*. Cambridge: Cambridge University Press.
- COX, M.; HUNTER, J. (2005): *Forensic Archaeology: Advances in Theory and Practice*. Londres y Nueva York: Routledge.
- CRESPILLO, M.; PAREDES, M.; ARIMANY, J.; GUERRERO, L.; VALVERDE, J.L. (2004): Guerra Civil Española (1936-1939): identificación de restos humanos procedentes de fosas comunes en Cataluña mediante análisis de ADN mitocondrial. A propósito de un caso. *Cuadernos de Medicina Forense* 38: 37-46.
- ESCARDA ESCARDA, M. (2006): El análisis de los restos óseos. *La represión franquista: mito, olvido y memoria*. Valladolid: Universidad de Valladolid, 299-330.



- ESPINAR SALOM, E. (1996): Coaliciones tarsiales. *Revista Cubana Ortopedia Traumatológica* 10 (2): 138-144.
- ETXEBERRÍA GABILONDO, F. (1999): Surgery in the Spanish War of Independence (1807-1813), between Desault and Lister. *Journal of Paleopathology* 11: 25-40.
- (2003): Lesiones por armas de fuego. Problemas médico-forenses. *Kirurgia* 4.
  - (2004): Panorama organizativo sobre Antropología y Patología Forense en España. Algunas propuestas para el estudio de fosas con restos humanos de la Guerra Civil española de 1936. En E. Silva, A. Esteban, J. Castán y P. Salvador (coords.): *La memoria de los olvidados. Un debate sobre el silencio de la represión franquista*. Valladolid: Ámbito, 183-219.
  - (2008): Exhumando fosas, recuperando dignidades. *Osasunaz* 9: 137-158.
- FEREMBACH, D.; SCHWIDETZKY, I.; STLOUKAL, M. (1978): Raccomandazioni per la determinazione dell'età e del sesso sullo scheletro. *Rivista di Antropologia* 60: 5-45.
- GALTÉS, I.; JORDANA, X.; GARCÍA, C.; MALGOSA, A. (2007): Marcadores de actividad en restos óseos. *Cuadernos de Medicina Forense* 13 (48-49): 179-189.
- ISÇAN, M.Y.; LOTH, S.R. (1986): Estimation of Age and Determination of Sex from the Sternal Rib. *Forensic Osteology: advances in the Identification of Human Remains*: 68-89.
- ISÇAN, M.Y.; LOTH, S.R.; WRIGHT, R.K. (1984): Metamorphosis at Sternal Rib End: a New Method to Estimate Age at Death in White Males. *American Journal of Physical Anthropology* 65: 147-156.
- ISIDRO LLORENS, A.; MALGOSA MORERA, A. (2003): *Paleopatología. La enfermedad no escrita*. Barcelona: Masson.
- KOFF, C. (2004): *El lenguaje de los huesos: una antropóloga forense busca la verdad en las fosas comunes de Ruanda, Bosnia, Croacia y Kosovo*. Madrid: Martínez Roca.
- KROGMAN, W.M.; ISÇAN, M.Y. (1986): *The Human Skeleton in Forensic Medicine*. Springfield: Charles C. Thomas.
- GALERA, V.; GUTIÉRREZ, E.; LAMAS, J.; VÁZQUEZ, F; RÍOS, P. (2003): Los métodos de determinación de la edad esquelética y su aplicación en Antropología Forense en España. El caso de Málaga. *Antropología y biodiversidad* 1: 318-322.
- LÓPEZ MARTÍNEZ, B. (2002): *Los pobladores del antiguo Reino de León: antropometría, paleodemografía y paleopatología*. León: Universidad de León.

- LÓPEZ MERINO, L.; ALONSO, A.; RASCÓN, J.; VILLADONIGA, M. T. (2007): Estimación de la estatura de los individuos exhumados en la fosa de la Guerra Civil de Villamayor de los Montes (Burgos). *VIII Congreso Nacional de Paleopatología. Enfermedad, muerte y cultura en las sociedades del pasado*. Cáceres: Universidad de Extremadura, 552-553.
- LOVEJOY, C.O.; MEINDL, R. S.; MENSFORTH, R.P.; BARTON, T. (1985): Multifactorial Determination of Skeletal Age at Death: a Method and Blind Test of its Accuracy. *American Journal of Physical Anthropology* 68: 1-14.
- McKERN, T.W.; STEWART, T.D. (1957): *Skeletal Age Changes in Young American Males: Analysed from the Standpoint of Age Identification*. Natwick: Headquarters Quartermaster Research and Development Command. Technical Report EP-45.
- MENDOÇA, M.C. DE (2000): Determinación de la talla a través de los huesos largos. *American Journal of Physical Anthropology* 112 (1): 39-48.
- MONTAGU, M. (1960): *An Introduction to Physical Anthropology*. Springfield: Charles C. Thomas.
- MONTERO GUTIÉRREZ, J. (2009): La visibilidad arqueológica de un conflicto inconcluso: la exhumación de fosas comunes de la Guerra Civil española a debate. *Munibe (Antropología-Arkeología)* 60: 289-308.
- OLIVIER, G. (1969): *Practical Anthropology*. Springfield: Charles C. Thomas.
- OLMO MARTÍN, J. DEL (2006): Exhumaciones y análisis de las fosas. *La represión franquista: mito, olvido y memoria*. Valladolid: Universidad de Valladolid, 273-297.
- OWINGS WEBB, P.A.; SUCHEY, J.M. (1985): Epiphyseal Union of the Anterior Iliac Crest and Medial Clavicle in a Modern Multiracial Sample of American Males and Females. *American Journal of Physical Anthropology* 68: 457-466.
- PRADA MARCOS, M.E.; ETXEBERRÍA GABILONDO, F. (2005): El valor de la patología ósea en la identificación personal: el caso de la fosa común de la Guerra Civil española de Cabañas de la Dornilla (Cubillos del Sil, León). *Actas VII Congreso Nacional de Paleopatología. Nuevas perspectivas del diagnóstico diferencial en Paleopatología*. Mahó, 113-123.
- PRADA MARCOS, M.E., ETXEBERRÍA GABILONDO, F., HERRASTI ERLOGORRI, L., VIDAL ENCINAS, J., MACÍAS PÉREZ, S.; PASTOR, F. (2003): Antropología del pasado reciente: una fosa común de la Guerra Civil española en Priaranza del Bierzo (León). *Antropología y Biodiversidad* 1: 431-446.
- REVERTE COMA, J.M. (1999): *Antropología Forense*. Madrid: Ministerio del Interior.

- RÍOS FRUTOS, L., MARTÍNEZ SILVA, B., GARCÍA-RUBIO RUIZ, A. Y JIMÉNEZ, J. (2008): Muertes en cautiverio en el primer Franquismo: exhumación del cementerio del penal de Valdenoceda (1938-1943). *Complutum* 19 (2): 139-160.
- RIVERO DE LA CALLE, M.F. (1985): *Nociones de anatomía humana aplicadas a la arqueología*. La Habana: Científico-técnica.
- RODRÍGUEZ CUENCA, J.V. (1994): *Introducción a la antropología forense. Análisis e identificación de restos óseos humanos*. Bogotá: Universidad Nacional de Colombia.
- SKINNER, M.; ALEMPIJEVIC, D.; DJURIC-SREJIC M. (2003): Guidelines for International Forensic Bio-Archaeology Monitors of Mass Grave Exhumations. *Forensic Science International* 134 (2-3): 81-92.
- SUCHEY, J.M.; BROOKS, S.T. (1990): Skeletal Age Determination Based on the Os Pubis: a Comparison of the Acsádi-Nemeskéri and Suchey-Brooks Methods. *Human Evolution* 5 (3): 227-238.
- TODD, T.W. (1920): Age Changes in the Pubic Bones. I: The Male White Pubis. *American Journal of Physical Anthropology* 3: 285-334.
- TROTTER, M.; GLESER, G. C. (1952): Estimation of Stature from Long Bones of American Whites and Negroes. *American Journal of Physical Anthropology* 10: 463-514.
- (1977): Corrigenda: Estimation of Stature from Long Limb Bones of American Whites and Negroes. *American Journal of Physical Anthropology* 47: 355-356.
- UBELAKER, D.H. (1987): Estimating Age at Death from Immature Skeletons: an Overview. *Journal of Forensic Sciences* 32: 1254-1263.
- (2007): Enterramientos humanos. Excavación, análisis, interpretación. *Munibe (Antropología-Arkeologia)*. Suplemento 24. San Sebastián: Sociedad de Ciencias Aranzadi.
- WHITE, T. D. (1991): *Human Osteology*. San Diego: Academic Press.